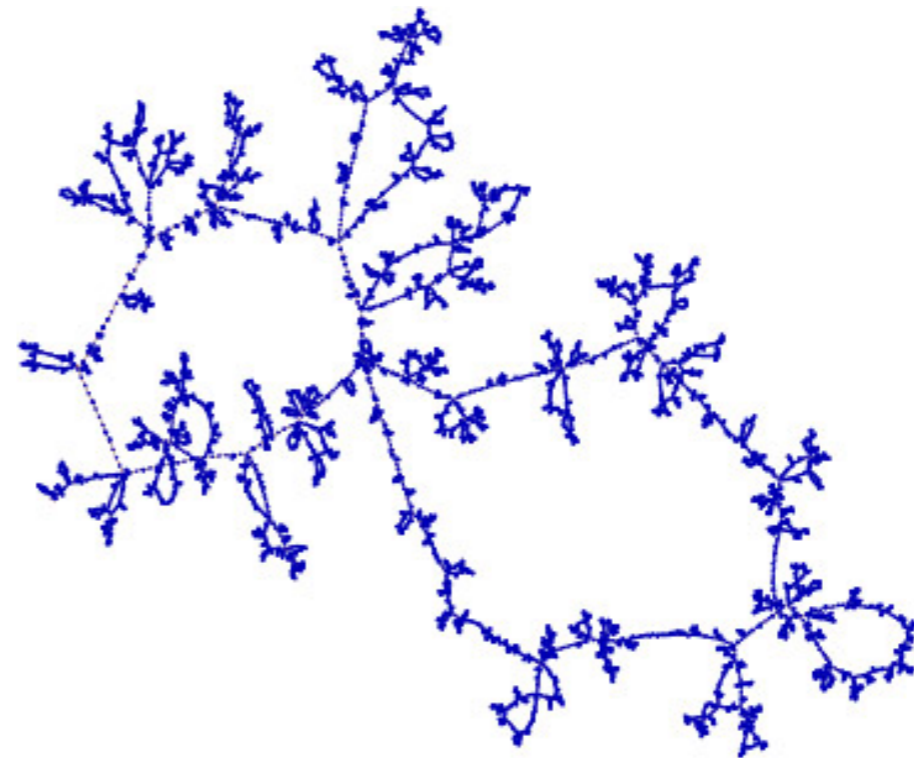
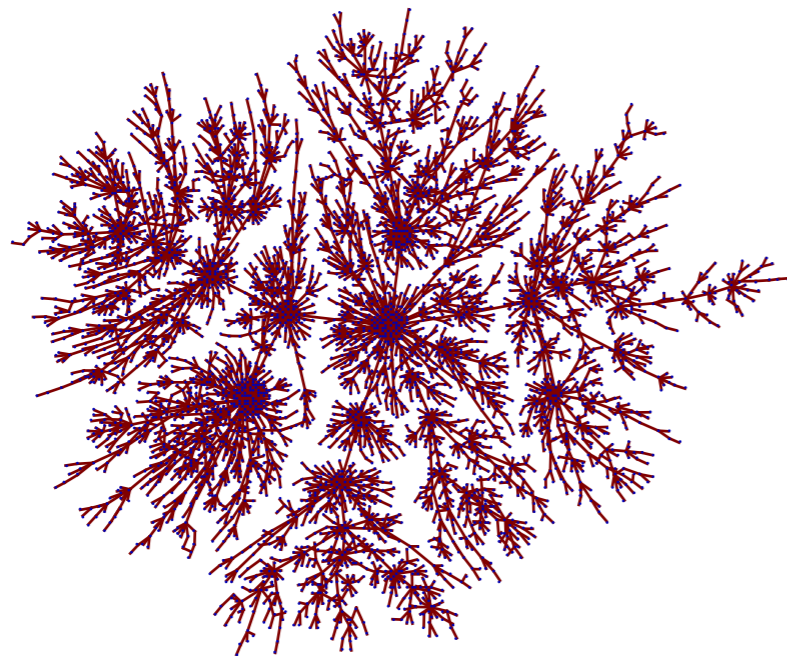


Ontogénèse
des
arbres construits par attachement préférentiel



Igor Kortchemski (travail avec N. Curien, T. Duquesne & I. Manolescu)
CNRS & CMAP, École polytechnique

Plan

I. INFLUENCE DE LA CONDITION INITIALE

II. LIMITES D'ÉCHELLE *via* LES « ARBRES À BOUCLES »

III. = I. + II.

IV. AUTRES « ARBRES À BOUCLES »

Plan

I. INFLUENCE DE LA CONDITION INITIALE



II. LIMITES D'ÉCHELLE *via* LES « ARBRES À BOUCLES »

III. = I. + II.

IV. AUTRES « ARBRES À BOUCLES »

ARBRES CONSTRUITS PAR ATTACHEMENT PRÉFÉRENTIEL



Arbres construits par attachement préférentiel

Soit $(T_n^{(S)})_{n \geq k}$ une suite d'arbres aléatoires construits récursivement comme suit :

Arbres construits par attachement préférentiel

Soit $(T_n^{(S)})_{n \geq k}$ une suite d'arbres aléatoires construits récursivement comme suit :

- ▶ $T_k^{(S)} = S$ est un arbre avec k sommets (la condition initiale),

Arbres construits par attachement préférentiel

Soit $(T_n^{(S)})_{n \geq k}$ une suite d'arbres aléatoires construits récursivement comme suit :

- ▶ $T_k^{(S)} = S$ est un arbre avec k sommets (la condition initiale),
- ▶ pour tout $n \geq k$, $T_{n+1}^{(S)}$ est obtenu à partir de $T_n^{(S)}$ en rajoutant une arête à un sommet de $T_n^{(S)}$

Arbres construits par attachement préférentiel

Soit $(T_n^{(S)})_{n \geq k}$ une suite d'arbres aléatoires construits récursivement comme suit :

- ▶ $T_k^{(S)} = S$ est un arbre avec k sommets (la condition initiale),
- ▶ pour tout $n \geq k$, $T_{n+1}^{(S)}$ est obtenu à partir de $T_n^{(S)}$ en rajoutant une arête à un sommet de $T_n^{(S)}$ choisi au hasard

Arbres construits par attachement préférentiel

Soit $(T_n^{(S)})_{n \geq k}$ une suite d'arbres aléatoires construits récursivement comme suit :

- ▶ $T_k^{(S)} = S$ est un arbre avec k sommets (la condition initiale),
- ▶ pour tout $n \geq k$, $T_{n+1}^{(S)}$ est obtenu à partir de $T_n^{(S)}$ en rajoutant une arête à un sommet de $T_n^{(S)}$ choisi au hasard **proportionnellement à son degré**.

Arbres construits par attachement préférentiel

Soit $(T_n^{(S)})_{n \geq k}$ une suite d'arbres aléatoires construits récursivement comme suit :

- ▶ $T_k^{(S)} = S$ est un arbre avec k sommets (la condition initiale),
- ▶ pour tout $n \geq k$, $T_{n+1}^{(S)}$ est obtenu à partir de $T_n^{(S)}$ en rajoutant une arête à un sommet de $T_n^{(S)}$ choisi au hasard **proportionnellement à son degré**.

Il s'agit du modèle d'attachement préférentiel (Szymánski '87 ; Albert & Barabási '99 ; Bollobás, Riordan, Spencer & Tusnády '01).

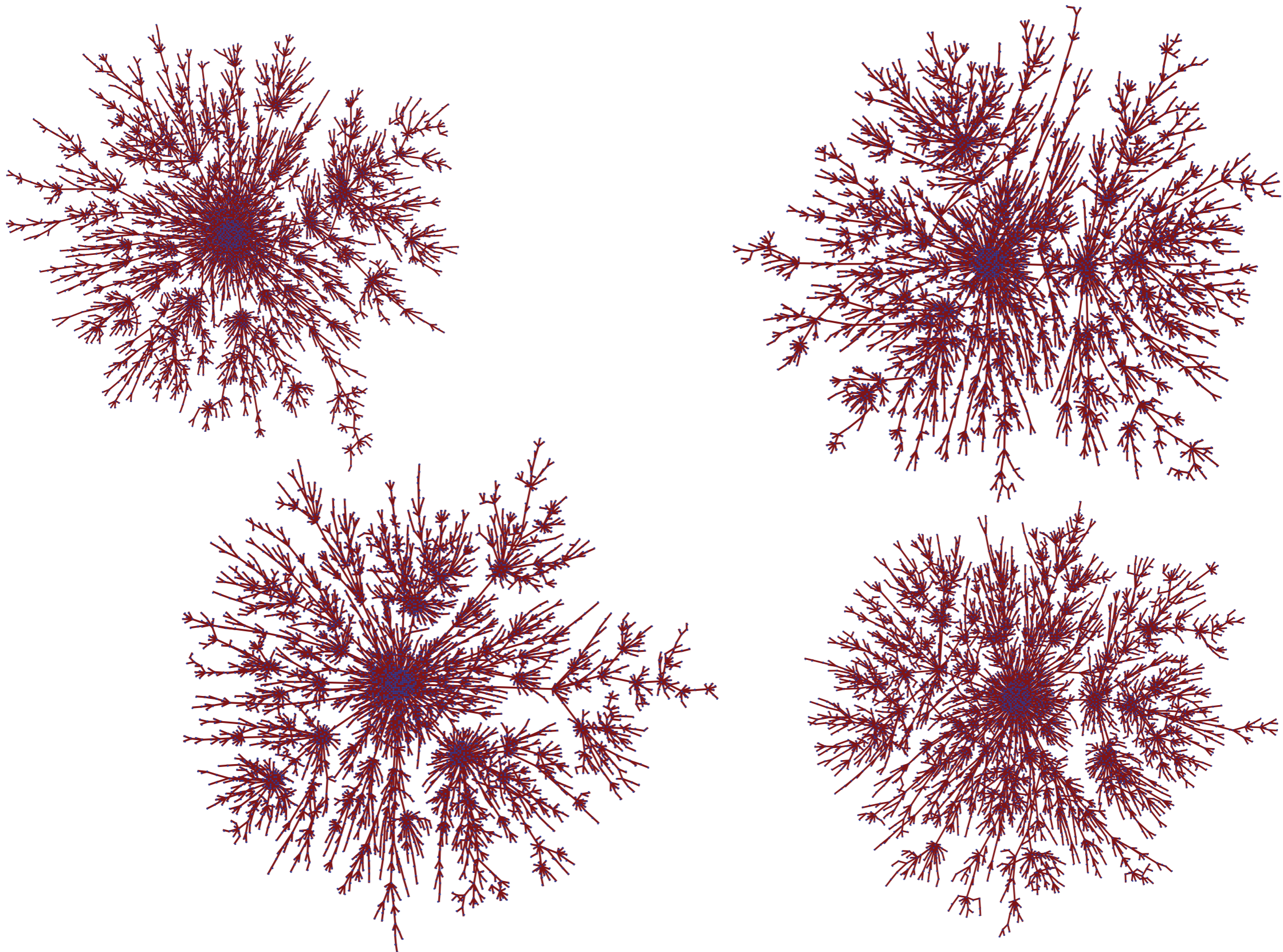
INFLUENCE DE LA CONDITION INITIALE



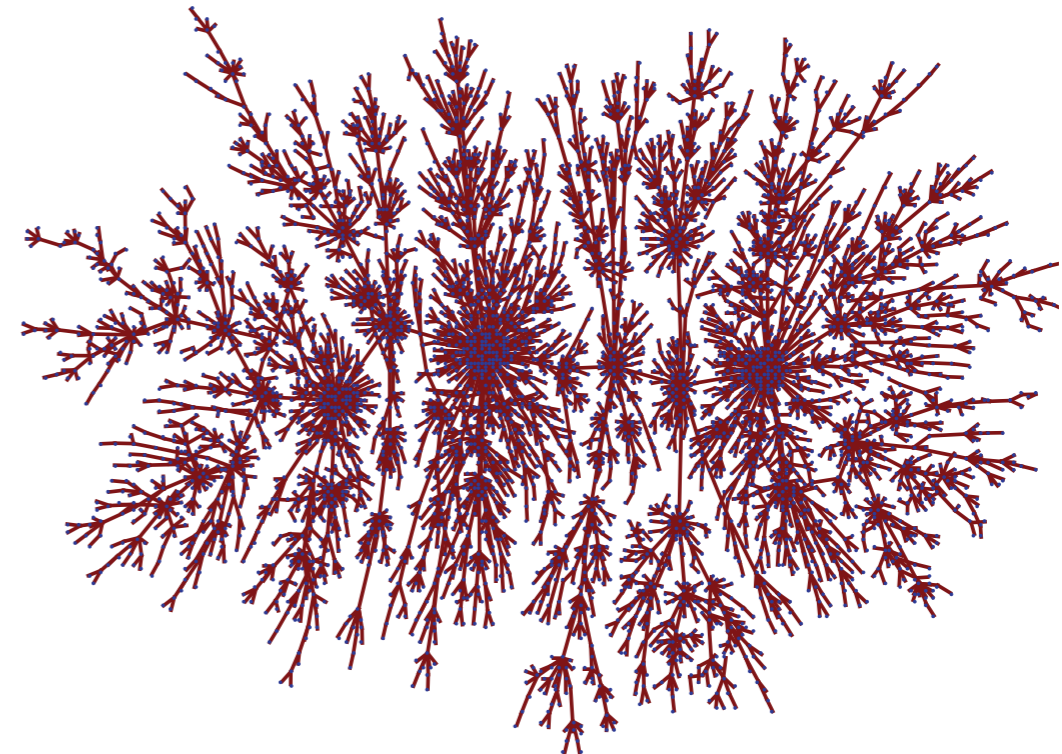
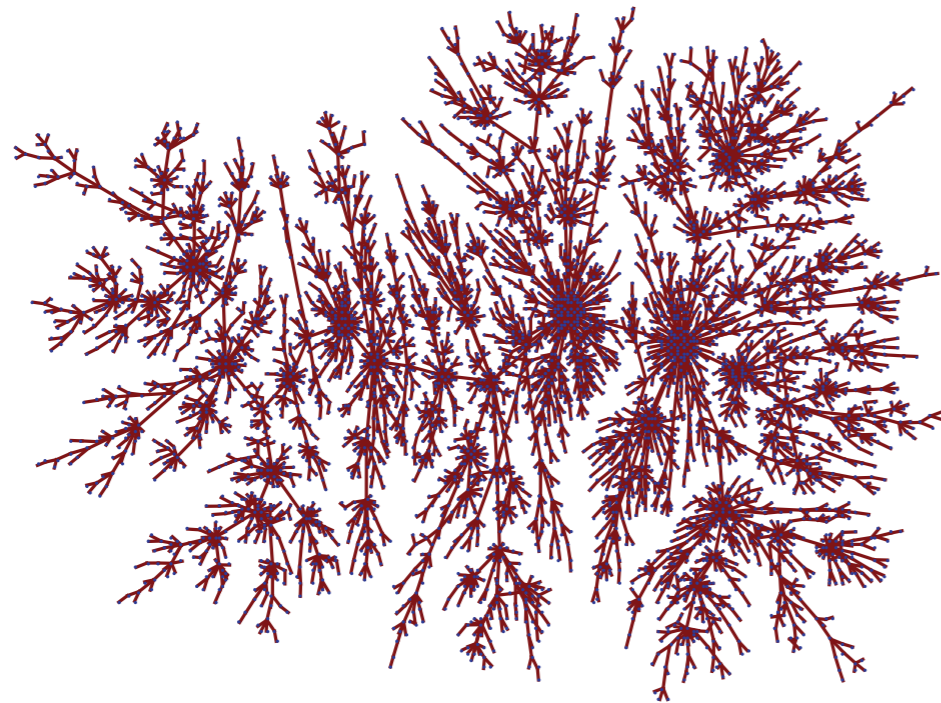
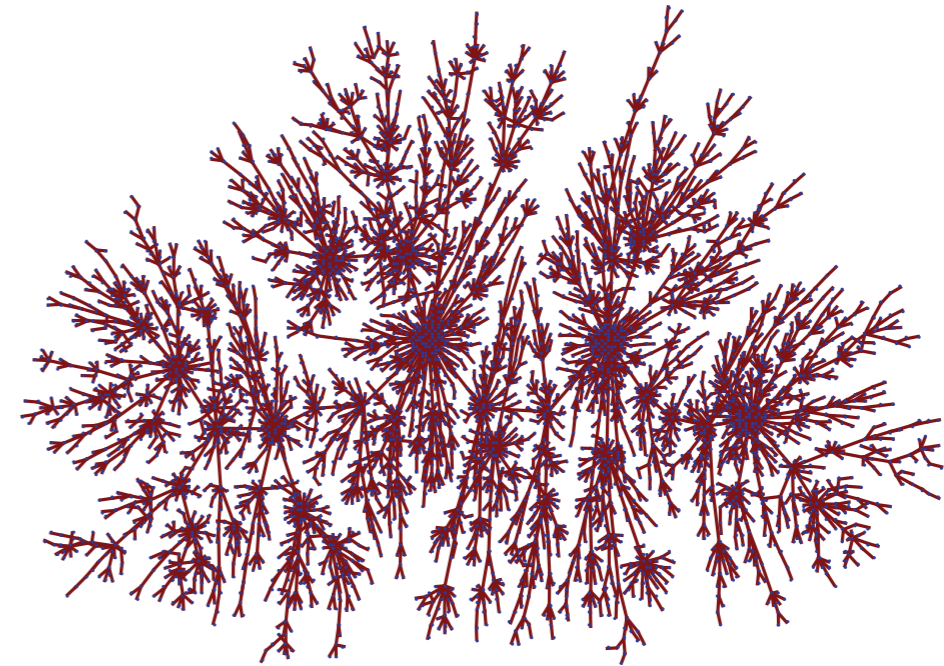
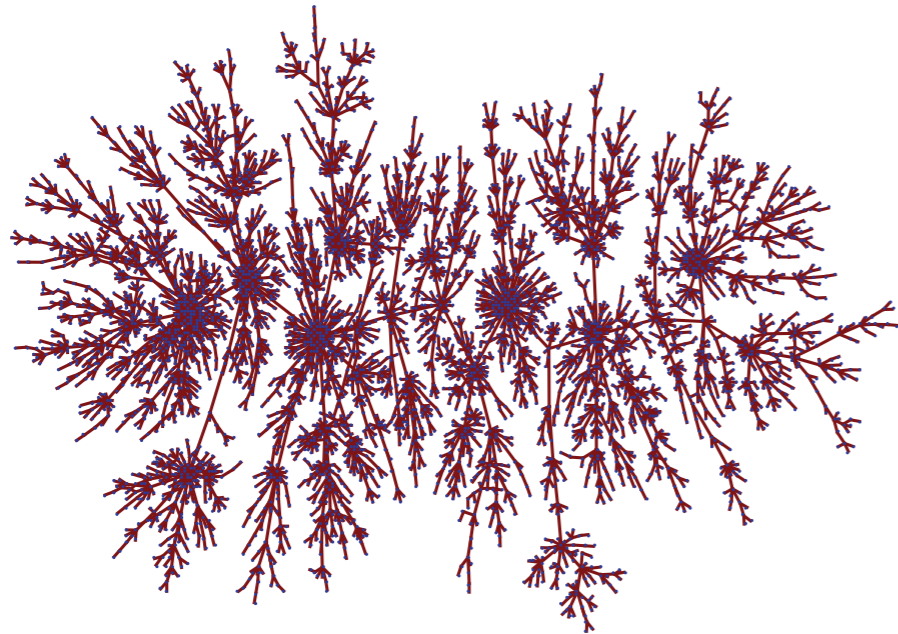
Question (Bubeck, Mossel & Rácz) : Quelle est l'influence de l'arbre initial ?

Question (Bubeck, Mossel & Rácz) : Quelle est l'influence de l'arbre initial ?
Asymptotiquement, peut-on reconnaître différentes conditions initiales ?

Quatre simulations de $T_n^{(S_1)}$ for $n = 5000$:

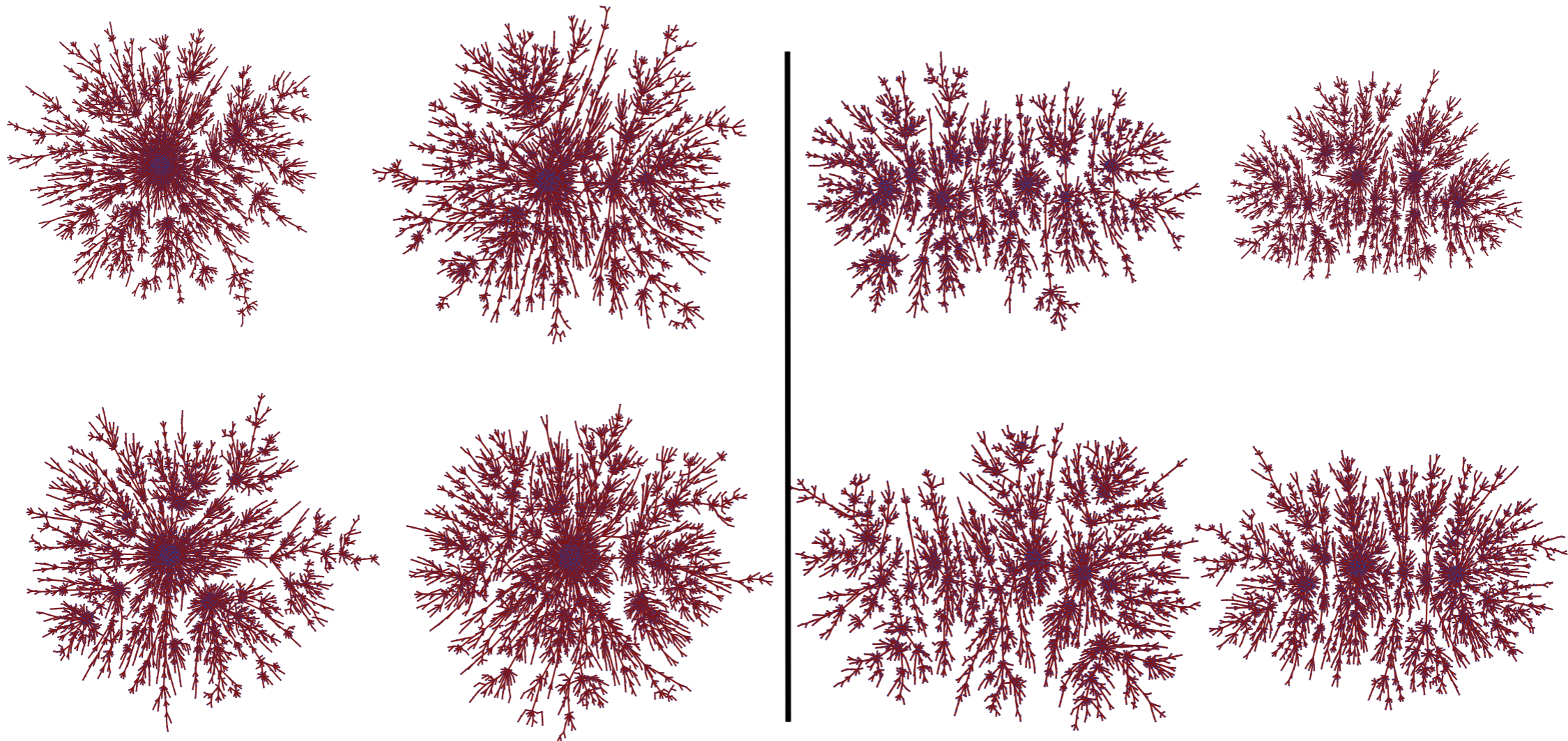


Quatre simulations de $T_n^{(S_2)}$ for $n = 5000$:



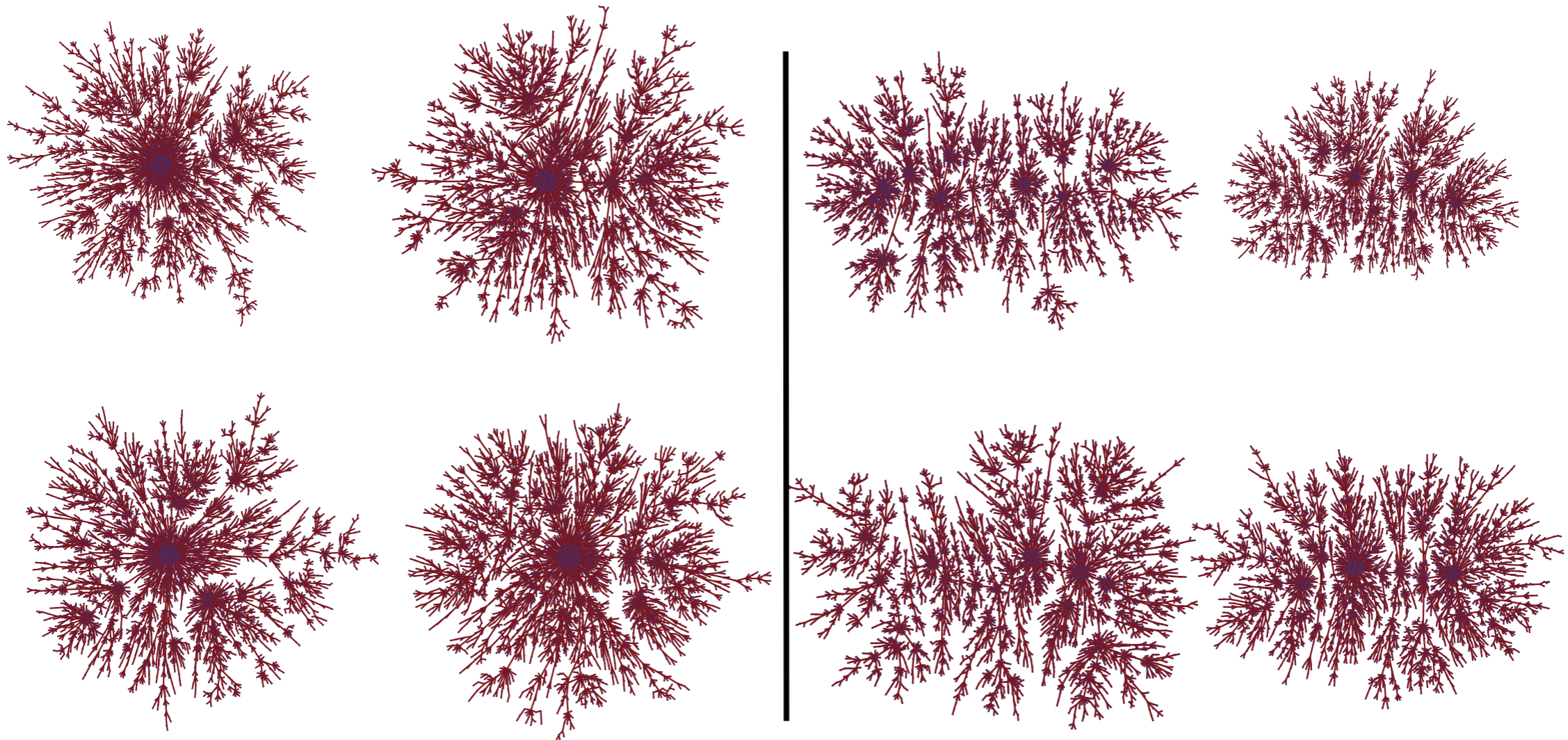
Referendum

Quatre simulations de $T_n^{(S_1)}$, $T_n^{(S_2)}$ for $n = 5000$:



Referendum

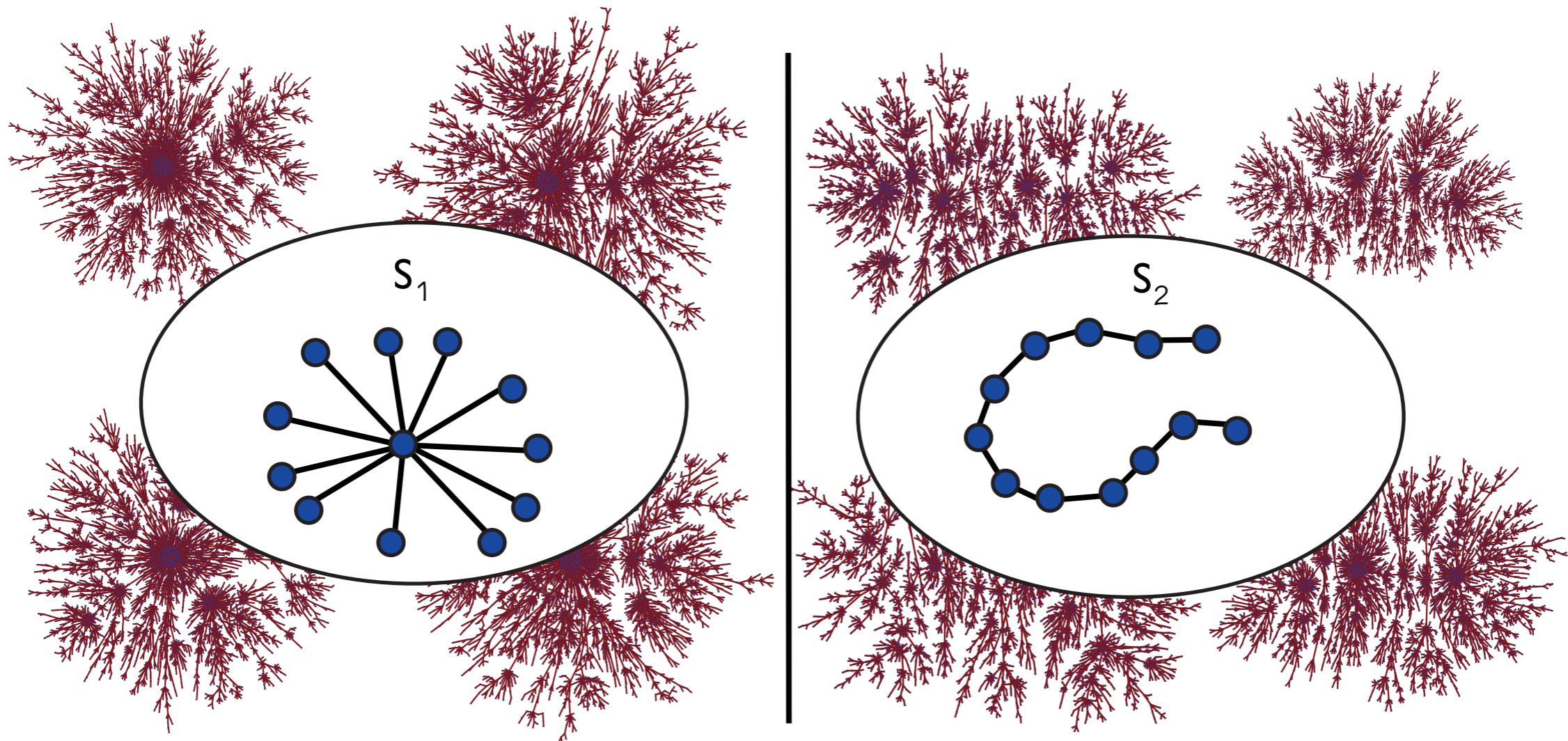
Quatre simulations de $T_n^{(S_1)}$, $T_n^{(S_2)}$ for $n = 5000$:



A-t-on $S_1 = S_2$?

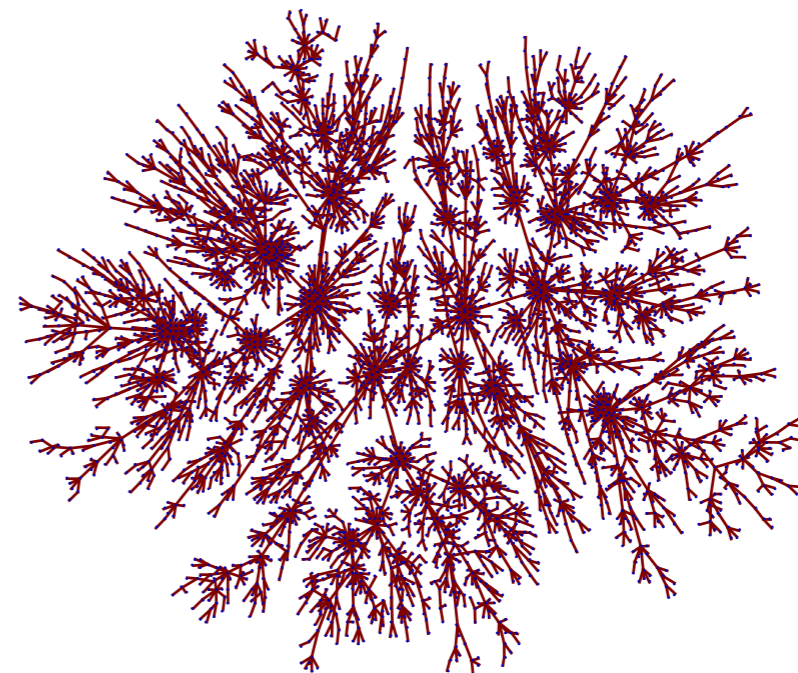
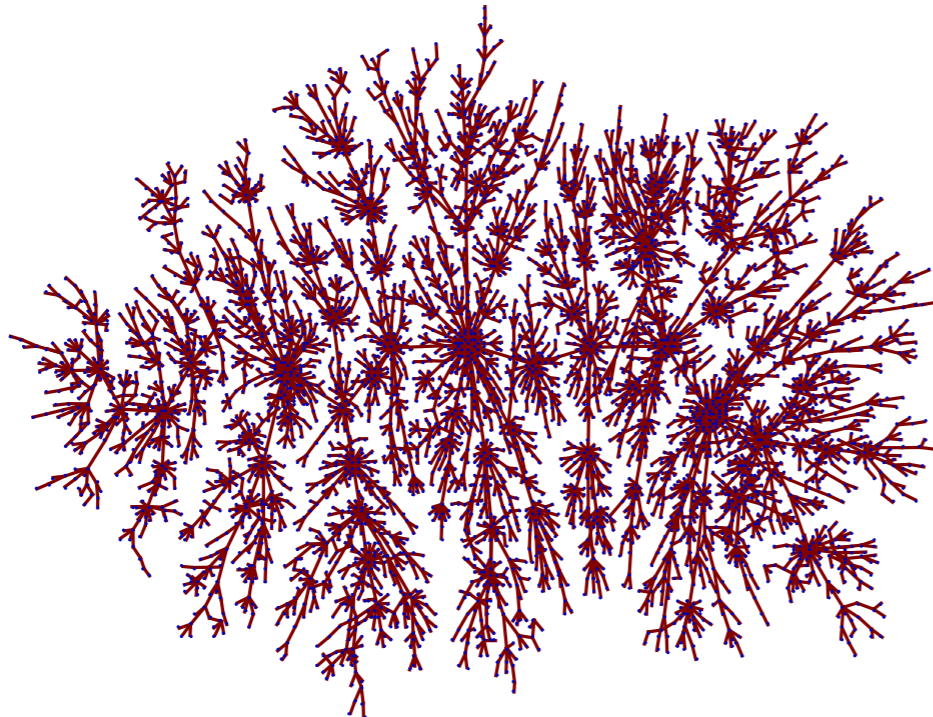
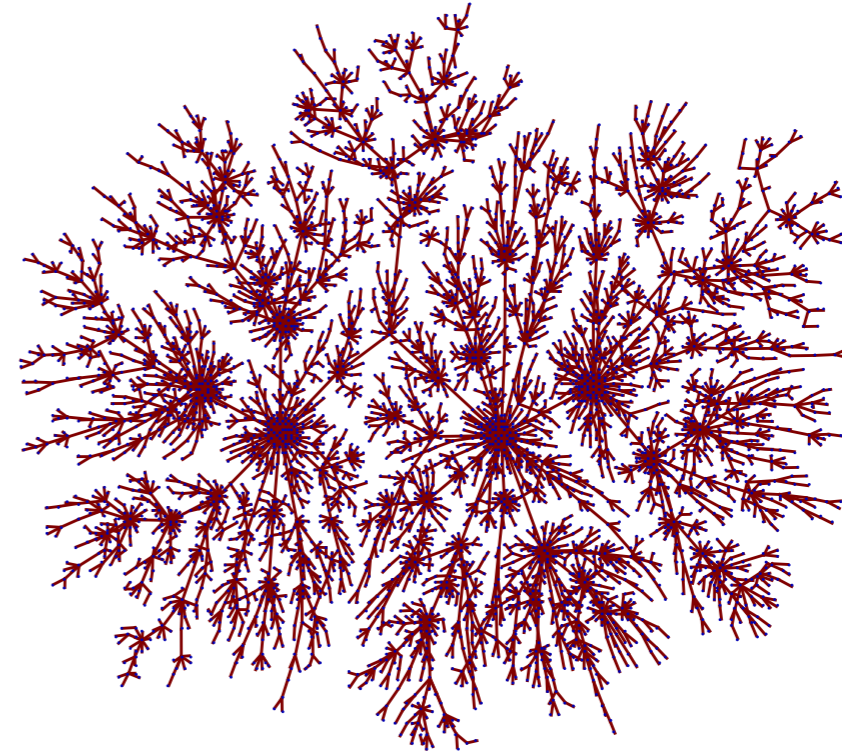
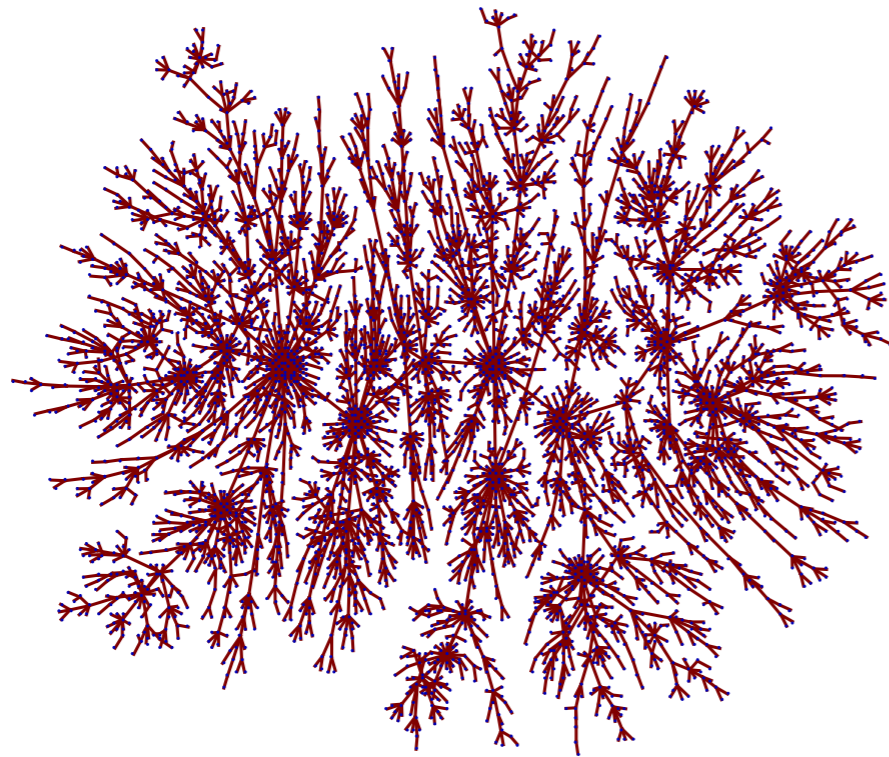
Referendum

Quatre simulations de $T_n^{(S_1)}$, $T_n^{(S_2)}$ for $n = 5000$:

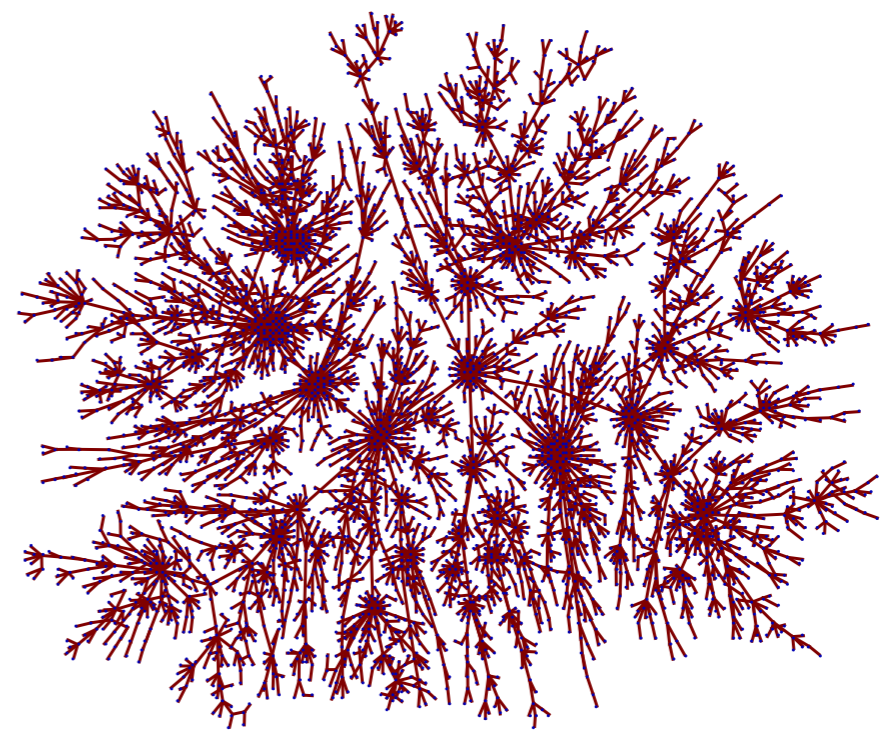
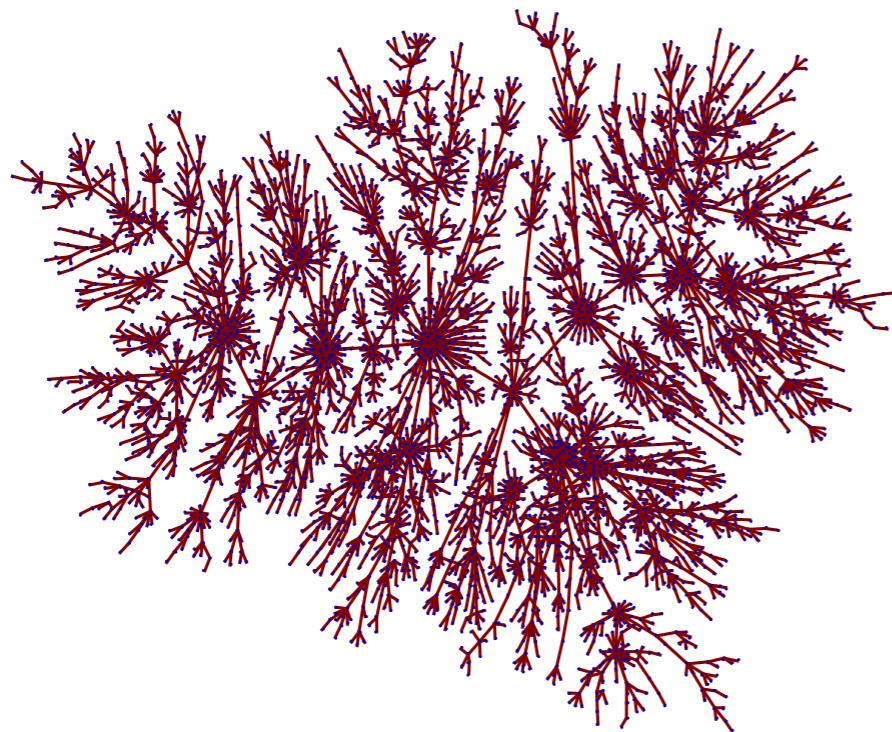
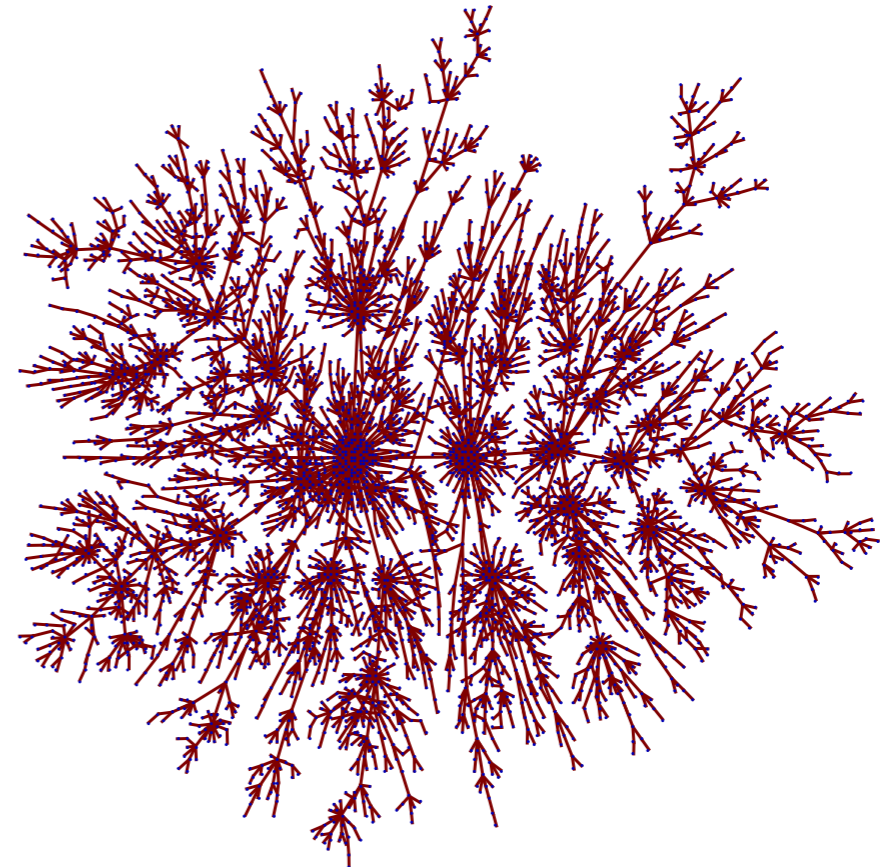
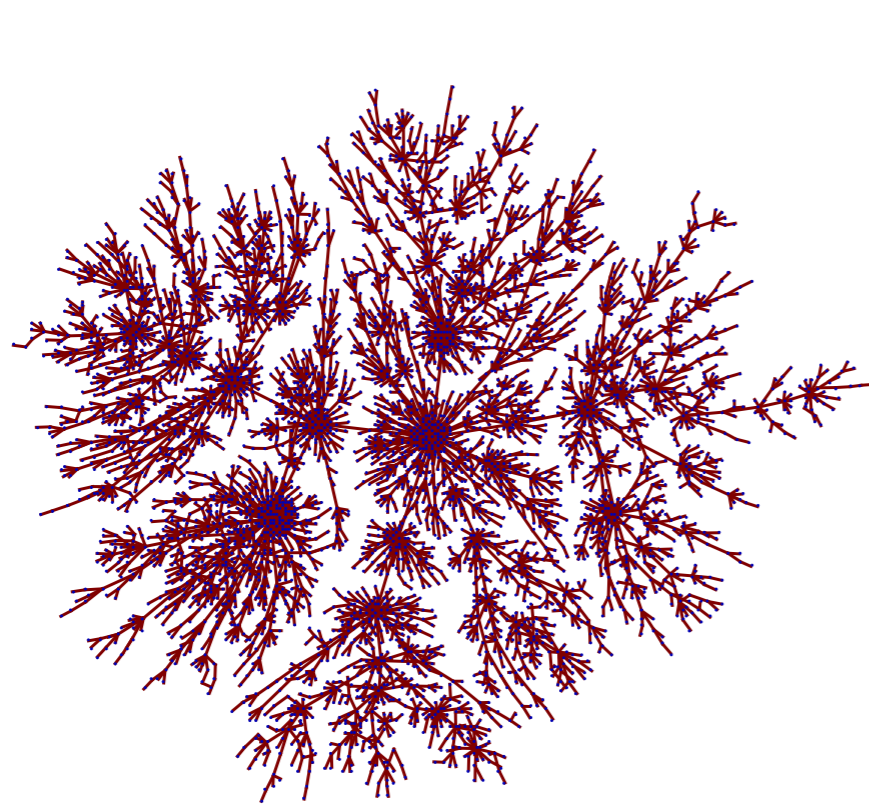


A-t-on $S_1 = S_2$?

Quatre simulations de $T_n^{(S'_1)}$ for $n = 5000$:

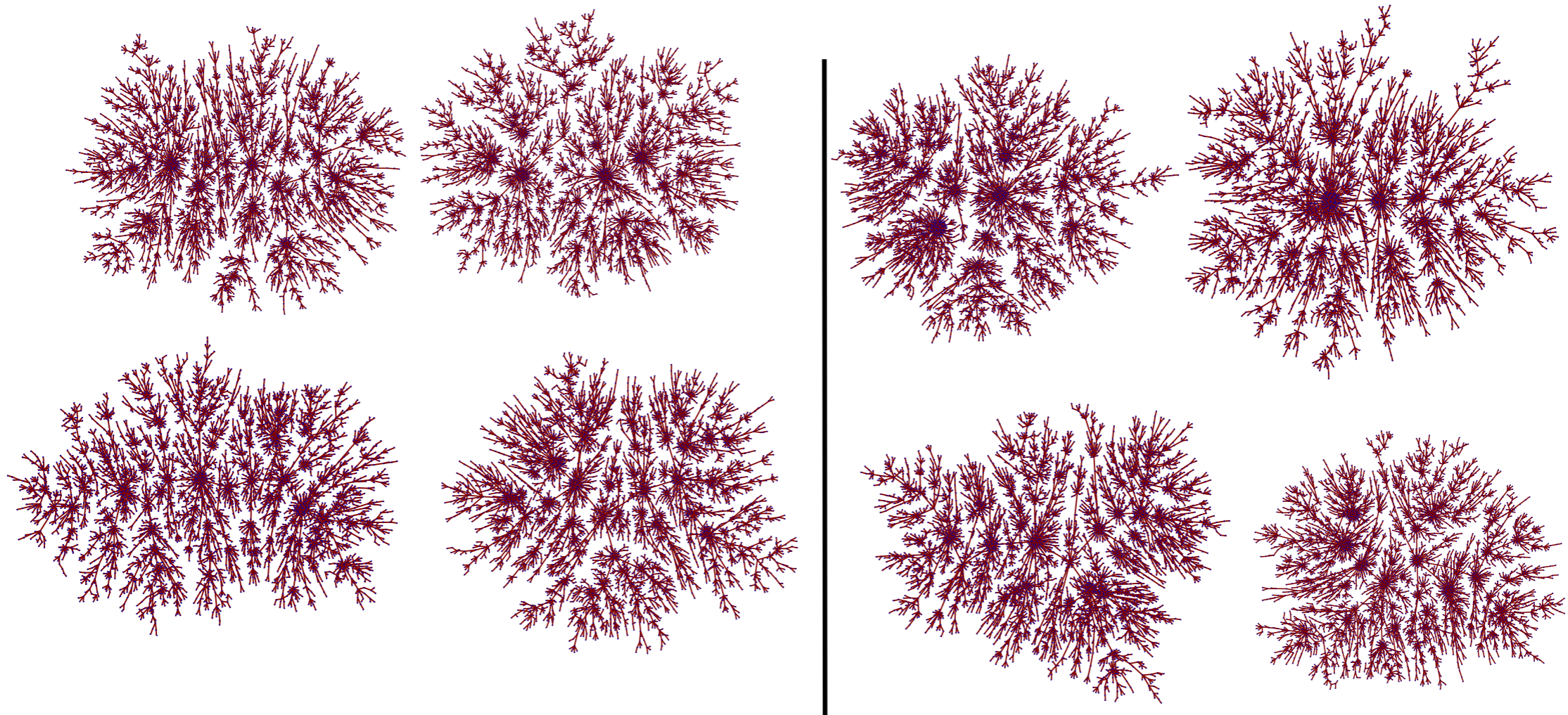


Quatre simulations de $T_n^{(S'_2)}$ for $n = 5000$:



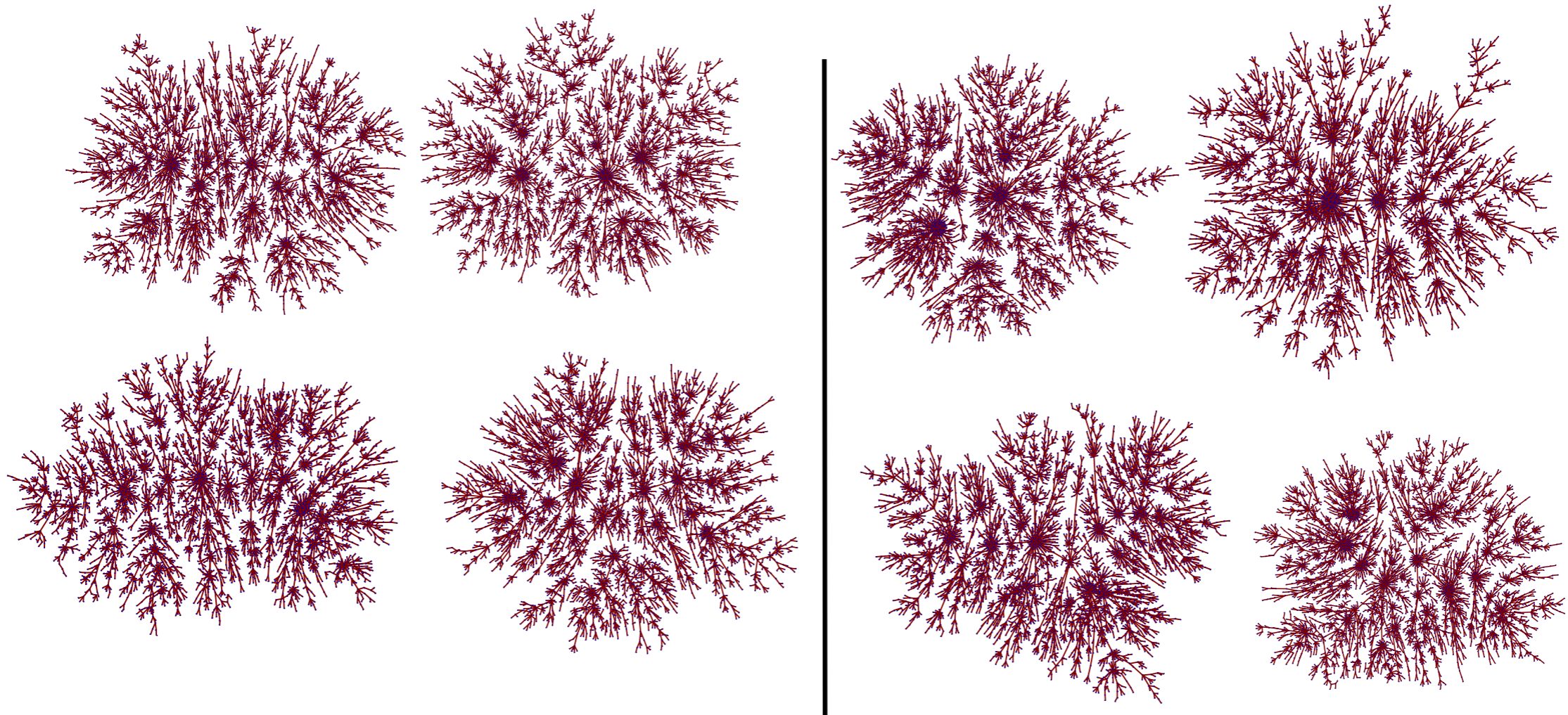
Referendum

Quatre simulations de $T_n^{(S'_1)}$, $T_n^{(S'_2)}$ for $n = 5000$:



Referendum

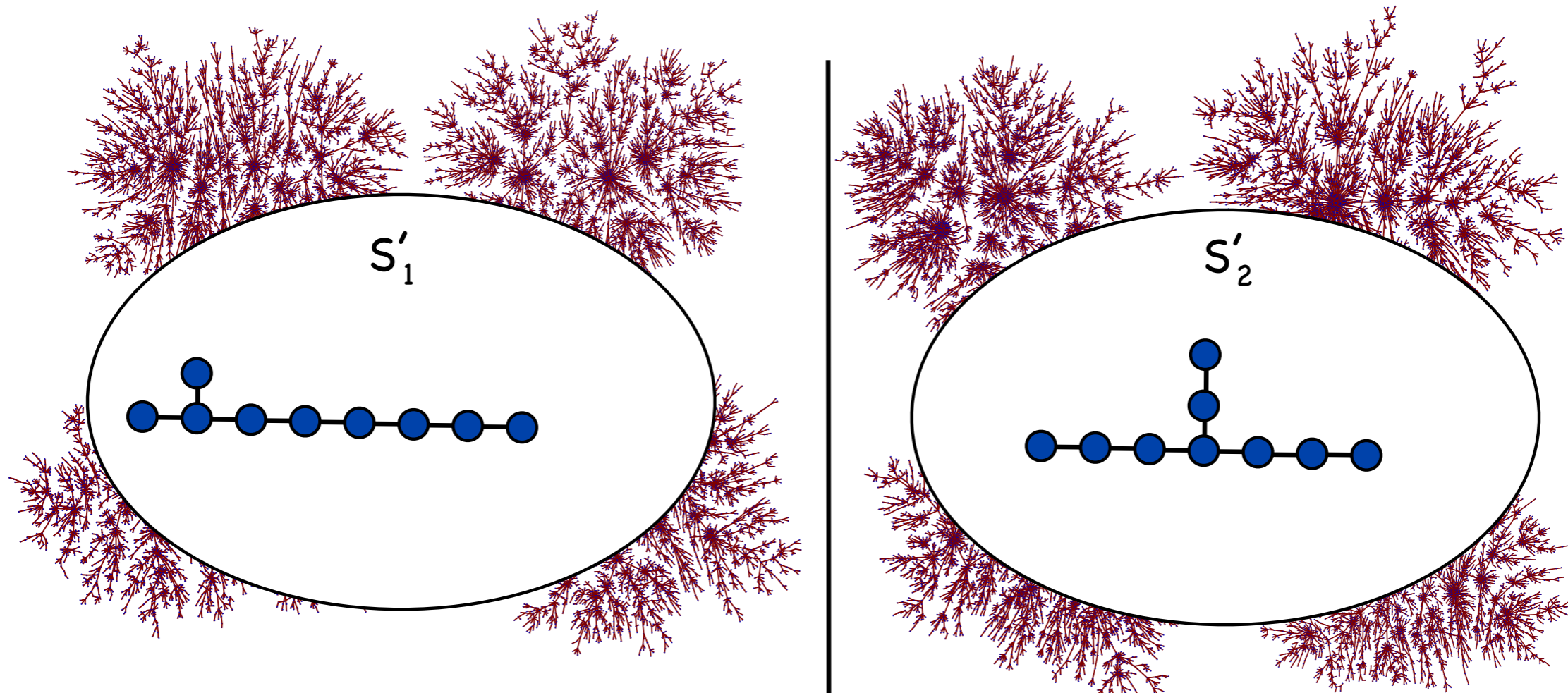
Quatre simulations de $T_n^{(S'_1)}$, $T_n^{(S'_2)}$ for $n = 5000$:



A-t-on $S'_1 = S'_2$?

Referendum

Quatre simulations de $T_n^{(S'_1)}$, $T_n^{(S'_2)}$ for $n = 5000$:



A-t-on $S'_1 = S'_2$?

Influence de l'arbre initial

Si S_1 et S_2 sont des arbres finis, on pose

$$d(S_1, S_2) = \lim_{n \rightarrow \infty} d_{TV}(T_n^{(S_1)}, T_n^{(S_2)}),$$

où d_{TV} est la distance en variation totale entre des variables aléatoires à valeurs dans l'espace des arbres finis

Influence de l'arbre initial

Si S_1 et S_2 sont des arbres finis, on pose

$$d(S_1, S_2) = \lim_{n \rightarrow \infty} d_{TV}(T_n^{(S_1)}, T_n^{(S_2)}),$$

où d_{TV} est la distance en variation totale entre des variables aléatoires à valeurs dans l'espace des arbres finis ($d_{TV}(X, Y) = \sup_{\mathcal{A}} |\mathbb{P}(X \in \mathcal{A}) - \mathbb{P}(Y \in \mathcal{A})|$).

Influence de l'arbre initial

Si S_1 et S_2 sont des arbres finis, on pose

$$d(S_1, S_2) = \lim_{n \rightarrow \infty} d_{TV}(T_n^{(S_1)}, T_n^{(S_2)}),$$

où d_{TV} est la distance en variation totale entre des variables aléatoires à valeurs dans l'espace des arbres finis ($d_{TV}(X, Y) = \sup_{\mathcal{A}} |\mathbb{P}(X \in \mathcal{A}) - \mathbb{P}(Y \in \mathcal{A})|$).

Proposition (Bubeck, Mossel & Rácz '14)

La fonction d est une pseudo-métrique.

Influence de l'arbre initial

Si S_1 et S_2 sont des arbres finis, on pose

$$d(S_1, S_2) = \lim_{n \rightarrow \infty} d_{TV}(T_n^{(S_1)}, T_n^{(S_2)}),$$

où d_{TV} est la distance en variation totale entre des variables aléatoires à valeurs dans l'espace des arbres finis ($d_{TV}(X, Y) = \sup_A |\mathbb{P}(X \in A) - \mathbb{P}(Y \in A)|$).

Proposition (Bubeck, Mossel & Rácz '14)

La fonction d est une pseudo-métrique.

Conjecture (Bubeck, Mossel & Rácz '14)

La fonction d est une métrique sur l'ensemble des arbres à au moins 3 sommets.

Influence de l'arbre initial

Si S_1 et S_2 sont des arbres finis, on pose

$$d(S_1, S_2) = \lim_{n \rightarrow \infty} d_{TV}(T_n^{(S_1)}, T_n^{(S_2)}),$$

où d_{TV} est la distance en variation totale entre des variables aléatoires à valeurs dans l'espace des arbres finis ($d_{TV}(X, Y) = \sup_A |\mathbb{P}(X \in A) - \mathbb{P}(Y \in A)|$).

Proposition (Bubeck, Mossel & Rácz '14)

La fonction d est une pseudo-métrique.

Conjecture (Bubeck, Mossel & Rácz '14)

La fonction d est une métrique sur l'ensemble des arbres à au moins 3 sommets.

Bubeck, Mossel & Rácz ont montré ce résultat quand S_1 et S_2 **n'ont pas** la même suite de degrés en étudiant le comportement du degré maximal de $T_n^{(S)}$.

Influence de l'arbre initial

Si S_1 et S_2 sont des arbres finis, on pose

$$d(S_1, S_2) = \lim_{n \rightarrow \infty} d_{TV}(T_n^{(S_1)}, T_n^{(S_2)}),$$

où d_{TV} est la distance en variation totale entre des variables aléatoires à valeurs dans l'espace des arbres finis ($d_{TV}(X, Y) = \sup_A |\mathbb{P}(X \in A) - \mathbb{P}(Y \in A)|$).

Proposition (Bubeck, Mossel & Rácz '14)

La fonction d est une pseudo-métrique.

Conjecture (Bubeck, Mossel & Rácz '14)

La fonction d est une métrique sur l'ensemble des arbres à au moins 3 sommets.

Bubeck, Mossel & Rácz ont montré ce résultat quand S_1 et S_2 **n'ont pas** la même suite de degrés en étudiant le comportement du degré maximal de $T_n^{(S)}$.

Théorème (Curien, Duquesne, K. & Manolescu '14).

La conjecture est vraie.

Arbres plans construits par attachement préférentiel

Soit $(T_n^{(S)})_{n \geq k}$ une suite d'arbres **plans** construits récursivement comme suit :

Arbres plans construits par attachement préférentiel

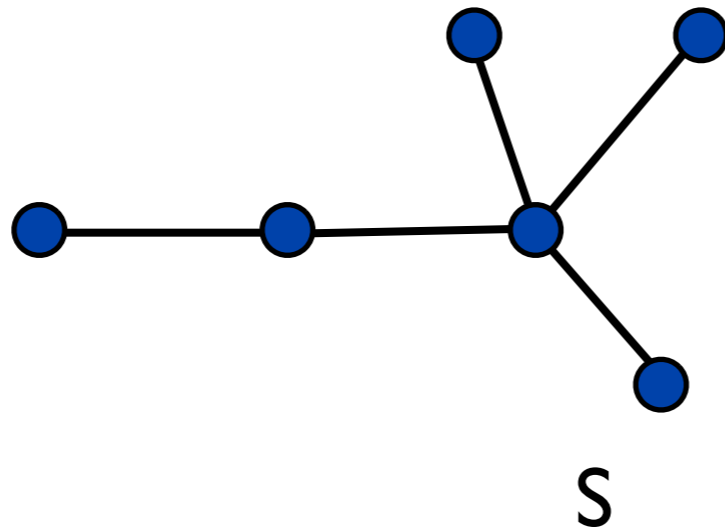
Soit $(T_n^{(S)})_{n \geq k}$ une suite d'arbres **plans** construits récursivement comme suit :

- ▶ $T_k^{(S)} = S$ est un arbre **plan** avec k sommets,

Arbres plans construits par attachement préférentiel

Soit $(T_n^{(S)})_{n \geq k}$ une suite d'arbres **plans** construits récursivement comme suit :

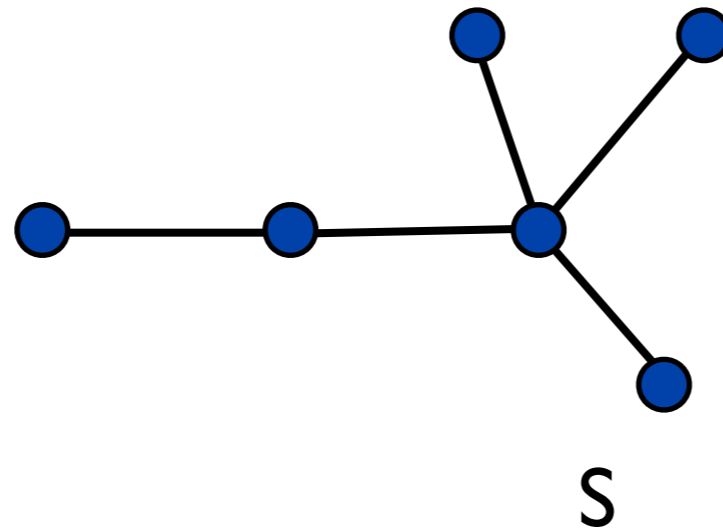
- ▶ $T_k^{(S)} = S$ est un arbre **plan** avec k sommets,
- ▶ pour tout $n \geq k$, $T_{n+1}^{(S)}$ est obtenu à partir de $T_n^{(S)}$ en ajoutant une arête à l'intérieur d'un **coin** de $T_n^{(S)}$



Arbres plans construits par attachement préférentiel

Soit $(T_n^{(S)})_{n \geq k}$ une suite d'arbres **plans** construits récursivement comme suit :

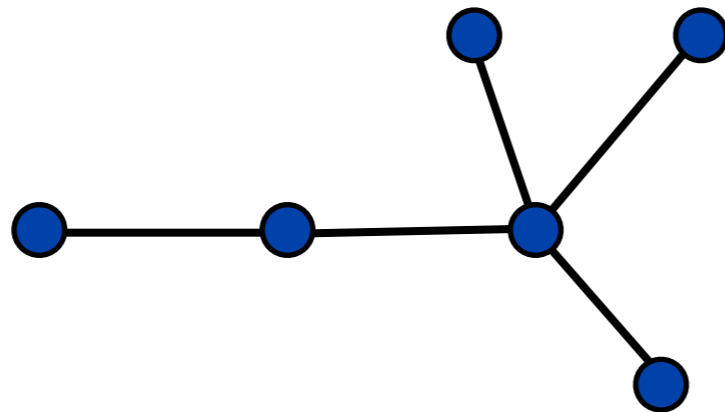
- ▶ $T_k^{(S)} = S$ est un arbre **plan** avec k sommets,
- ▶ pour tout $n \geq k$, $T_{n+1}^{(S)}$ est obtenu à partir de $T_n^{(S)}$ en ajoutant une arête à l'intérieur d'un **coin** de $T_n^{(S)}$ choisi **uniformément** au hasard.



Arbres plans construits par attachement préférentiel

Soit $(T_n^{(S)})_{n \geq k}$ une suite d'arbres **plans** construits récursivement comme suit :

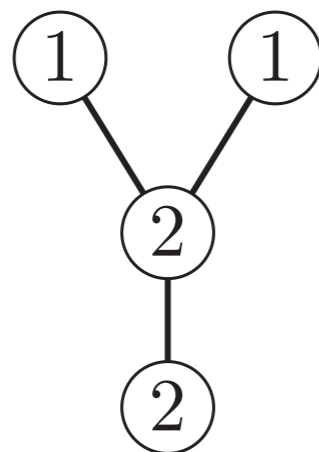
- ▶ $T_k^{(S)} = S$ est un arbre **plan** avec k sommets,
- ▶ pour tout $n \geq k$, $T_{n+1}^{(S)}$ est obtenu à partir de $T_n^{(S)}$ en ajoutant une arête à l'intérieur d'un **coin** de $T_n^{(S)}$ choisi **uniformément** au hasard.



↪ La structure de graphe de $T_n^{(S)}$ est celle des arbres construits par attachement préférentiel.

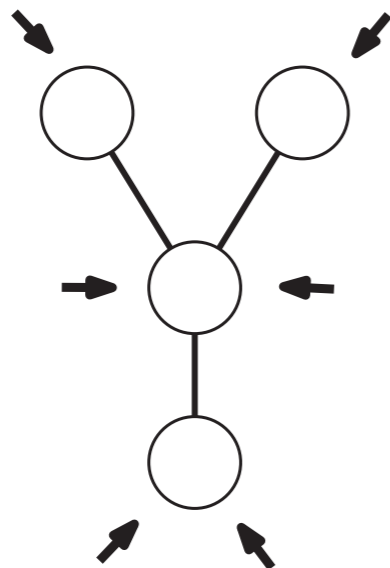
Nos observables : plongements de sapins de Noël

Un sapin de Noël τ est un arbre τ dont les sommets sont étiquetés par des entiers strictement positifs ($\ell(u), u \in \tau$).



Nos observables : plongements de sapins de Noël

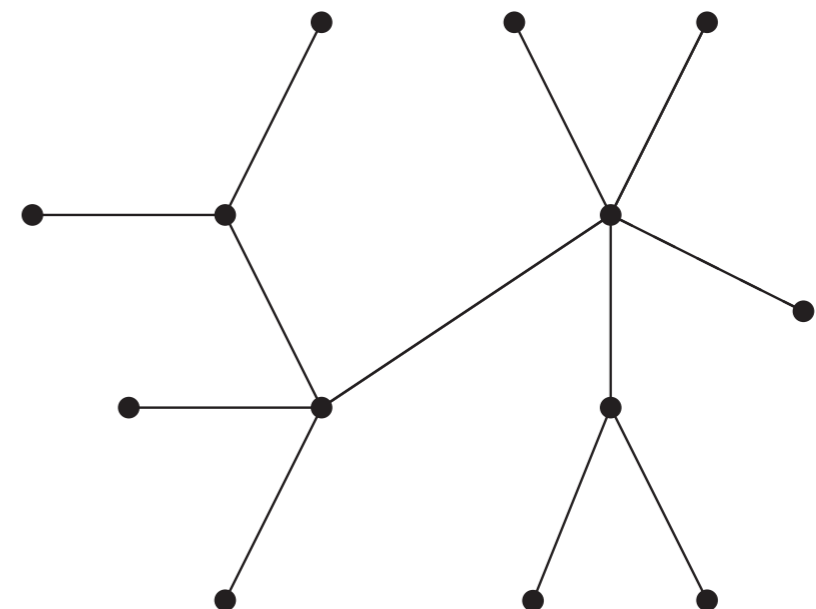
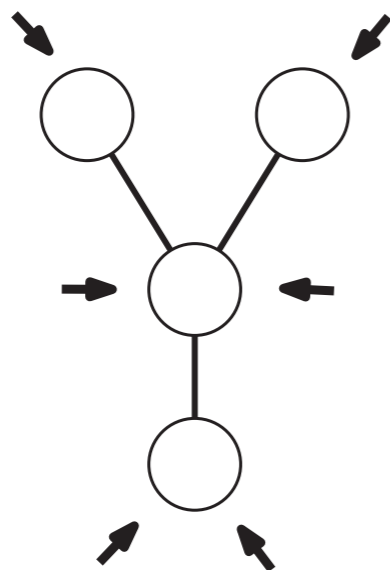
Un sapin de Noël τ est un arbre τ dont les sommets sont étiquetés par des entiers strictement positifs ($\ell(u), u \in \tau$). On interprète les étiquettes comme $\ell(u)$ flèches indistingables pointant vers chaque sommet $u \in \tau$.



Nos observables : plongements de sapins de Noël

Un sapin de Noël τ est un arbre τ dont les sommets sont étiquetés par des entiers strictement positifs ($\ell(u), u \in \tau$). On interprète les étiquettes comme $\ell(u)$ flèches indistinguables pointant vers chaque sommet $u \in \tau$.

Si T est un arbre plan, on note $D_\tau(T)$ le nombre de plongements décorés de τ dans T .

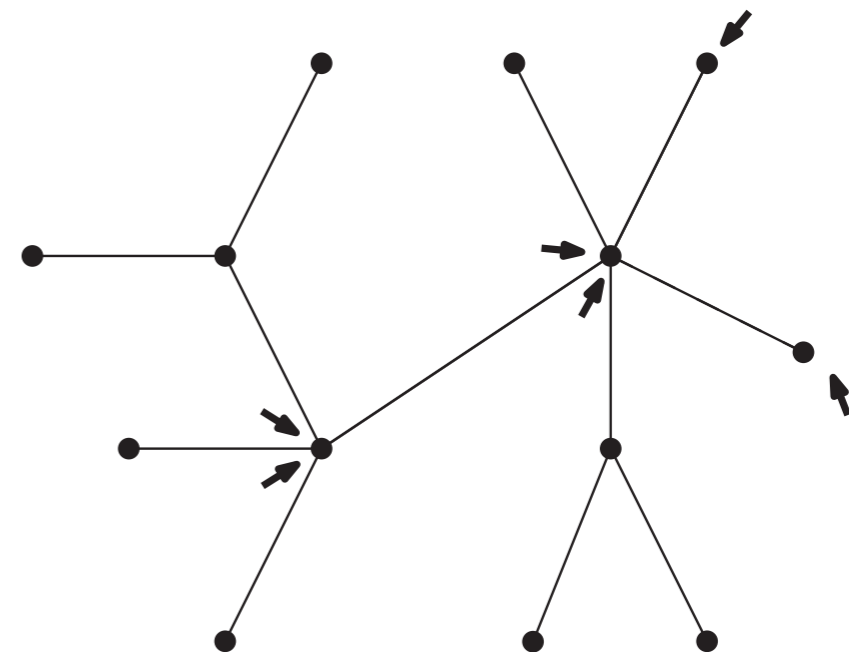
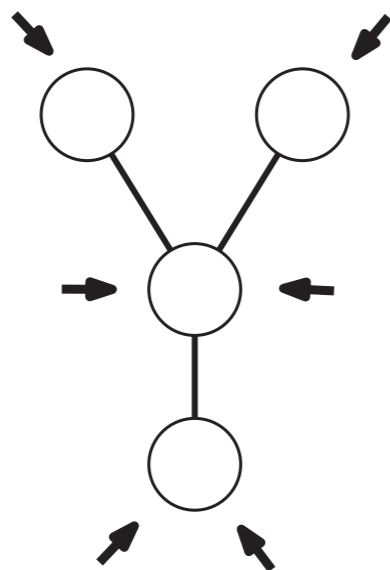


Nos observables : plongements de sapins de Noël

Un sapin de Noël τ est un arbre τ dont les sommets sont étiquetés par des entiers strictement positifs ($\ell(u), u \in \tau$). On interprète les étiquettes comme $\ell(u)$ flèches indistingables pointant vers chaque sommet $u \in \tau$.

Si T est un arbre plan, on note $D_\tau(T)$ le nombre de plongements décorés de τ dans T .

C-à-d $D_\tau(T)$ est le nombre de manières de plonger τ dans T de sorte que chaque flèche pointant vers un sommet de τ est associée à un coin de T adjacent au sommet correspondant (des flèches différentes sont nécessairement associées à des coins différents).



Nos observables : plongements de sapins de Noël

Proposition.

Il existe un ordre partiel \preceq sur l'ensemble des sapins de Noël

Nos observables : plongements de sapins de Noël

Proposition.

Il existe un ordre partiel \preceq sur l'ensemble des sapins de Noël, tel que pour chaque sapin τ , il existe des constantes $\{c_n(\tau, \tau') : \tau' \preceq \tau, n \geq 2\}$ telles que, pour tout arbre plan initial S ,

$$M_{\tau}^{(S)}(n) = \sum_{\tau' \preceq \tau} c_n(\tau, \tau') \cdot D_{\tau'}(T_n^{(S)})$$

Nos observables : plongements de sapins de Noël

Proposition.

Il existe un ordre partiel \preceq sur l'ensemble des sapins de Noël, tel que pour chaque sapin τ , il existe des constantes $\{c_n(\tau, \tau') : \tau' \preceq \tau, n \geq 2\}$ telles que, pour tout arbre plan initial S ,

$$M_{\tau}^{(S)}(n) = \sum_{\tau' \preceq \tau} c_n(\tau, \tau') \cdot D_{\tau'}(T_n^{(S)})$$

est une martingale

Nos observables : plongements de sapins de Noël

Proposition.

Il existe un ordre partiel \preceq sur l'ensemble des sapins de Noël, tel que pour chaque sapin τ , il existe des constantes $\{c_n(\tau, \tau') : \tau' \preceq \tau, n \geq 2\}$ telles que, pour tout arbre plan initial S ,

$$M_{\tau}^{(S)}(n) = \sum_{\tau' \preceq \tau} c_n(\tau, \tau') \cdot D_{\tau'}(T_n^{(S)})$$

est une martingale bornée dans \mathbb{L}^2 .

Nos observables : plongements de sapins de Noël

Proposition.

Il existe un ordre partiel \preceq sur l'ensemble des sapins de Noël, tel que pour chaque sapin τ , il existe des constantes $\{c_n(\tau, \tau') : \tau' \preceq \tau, n \geq 2\}$ telles que, pour tout arbre plan initial S ,

$$M_{\tau}^{(S)}(n) = \sum_{\tau' \preceq \tau} c_n(\tau, \tau') \cdot D_{\tau'}(T_n^{(S)})$$

est une martingale bornée dans \mathbb{L}^2 .

Preuve de la conjecture, c-à-d $\lim_{n \rightarrow \infty} d_{TV}(T_n^{(S_1)}, T_n^{(S_2)}) > 0$.

Nos observables : plongements de sapins de Noël

Proposition.

Il existe un ordre partiel \preceq sur l'ensemble des sapins de Noël, tel que pour chaque sapin τ , il existe des constantes $\{c_n(\tau, \tau') : \tau' \preceq \tau, n \geq 2\}$ telles que, pour tout arbre plan initial S ,

$$M_{\tau}^{(S)}(n) = \sum_{\tau' \preceq \tau} c_n(\tau, \tau') \cdot D_{\tau'}(T_n^{(S)})$$

est une martingale bornée dans \mathbb{L}^2 .

Preuve de la conjecture, c-à-d $\lim_{n \rightarrow \infty} d_{TV}(T_n^{(S_1)}, T_n^{(S_2)}) > 0$.

Si $S_1 \neq S_2$, il existe un sapin de Noël τ et n_0 tels que

$$\mathbb{E} \left[M_{\tau}^{(S_1)}(n_0) \right] \neq \mathbb{E} \left[M_{\tau}^{(S_2)}(n_0) \right].$$

Nos observables : plongements de sapins de Noël

Proposition.

Il existe un ordre partiel \preceq sur l'ensemble des sapins de Noël, tel que pour chaque sapin τ , il existe des constantes $\{c_n(\tau, \tau') : \tau' \preceq \tau, n \geq 2\}$ telles que, pour tout arbre plan initial S ,

$$M_{\tau}^{(S)}(n) = \sum_{\tau' \preceq \tau} c_n(\tau, \tau') \cdot D_{\tau'}(T_n^{(S)})$$

est une martingale bornée dans \mathbb{L}^2 .

Preuve de la conjecture, c-à-d $\lim_{n \rightarrow \infty} d_{TV}(T_n^{(S_1)}, T_n^{(S_2)}) > 0$.

Si $S_1 \neq S_2$, il existe un sapin de Noël τ et n_0 tels que

$$\mathbb{E} \left[M_{\tau}^{(S_1)}(n_0) \right] \neq \mathbb{E} \left[M_{\tau}^{(S_2)}(n_0) \right]. \text{ D'où}$$

$$\lim_{n \rightarrow \infty} d_{TV}(T_n^{(S_1)}, T_n^{(S_2)}) \geq \liminf_{n \rightarrow \infty} d_{TV}(M_{\tau}^{(S_1)}(n), M_{\tau}^{(S_2)}(n))$$

Nos observables : plongements de sapins de Noël

Proposition.

Il existe un ordre partiel \preceq sur l'ensemble des sapins de Noël, tel que pour chaque sapin τ , il existe des constantes $\{c_n(\tau, \tau') : \tau' \preceq \tau, n \geq 2\}$ telles que, pour tout arbre plan initial S ,

$$M_{\tau}^{(S)}(n) = \sum_{\tau' \preceq \tau} c_n(\tau, \tau') \cdot D_{\tau'}(T_n^{(S)})$$

est une martingale bornée dans \mathbb{L}^2 .

Preuve de la conjecture, c-à-d $\lim_{n \rightarrow \infty} d_{TV}(T_n^{(S_1)}, T_n^{(S_2)}) > 0$.

Si $S_1 \neq S_2$, il existe un sapin de Noël τ et n_0 tels que

$$\mathbb{E} \left[M_{\tau}^{(S_1)}(n_0) \right] \neq \mathbb{E} \left[M_{\tau}^{(S_2)}(n_0) \right]. \text{ D'où}$$

$$\lim_{n \rightarrow \infty} d_{TV}(T_n^{(S_1)}, T_n^{(S_2)}) \geq \liminf_{n \rightarrow \infty} d_{TV}(M_{\tau}^{(S_1)}(n), M_{\tau}^{(S_2)}(n)) > 0.$$


I. INFLUENCE DE LA CONDITION INITIALE

II. LIMITES D'ÉCHELLE *via* LES « ARBRES À BOUCLES »



III. = I. + II.

IV. AUTRES « ARBRES À BOUCLES »

 **Question.** Est-ce que la suite $(T_n^{(S)})$ admet une limite d'échelle ?

→ **Question.** Est-ce que la suite $(T_n^{(S)})$ admet une limite d'échelle ? Il est connu que le diamètre de $T_n^{(S)}$ est de l'ordre de $\log(n)$:

→ **Question.** Est-ce que la suite $(T_n^{(S)})$ admet une limite d'échelle ? Il est connu que le diamètre de $T_n^{(S)}$ est de l'ordre de $\log(n)$: Est-ce que

$$\frac{1}{\log(n)} \cdot T_n^{(S)}$$

converge vers un espace métrique compact limite

→ **Question.** Est-ce que la suite $(T_n^{(S)})$ admet une limite d'échelle ? Il est connu que le diamètre de $T_n^{(S)}$ est de l'ordre de $\log(n)$: Est-ce que

$$\frac{1}{\log(n)} \cdot T_n^{(S)}$$

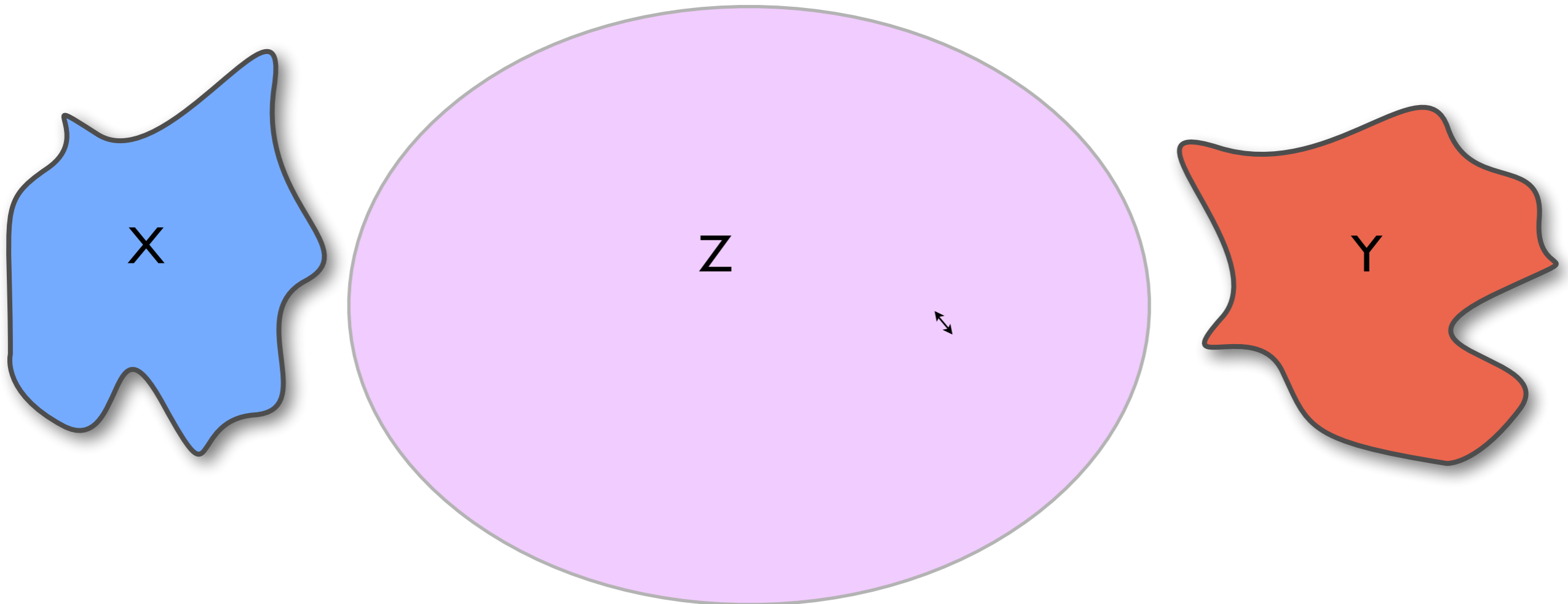
converge vers un espace métrique compact limite en loi pour la topologie de Gromov–Hausdorff ?

La distance de Gromov–Hausdorff

Soient X, Y deux espaces métriques compacts.

La distance de Gromov–Hausdorff

Soient X, Y deux espaces métriques compacts.



La distance de Gromov–Hausdorff entre X et Y est l'infimum des distances de Hausdorff entre tous les plongements isométriques possibles de X et Y dans un même espace métrique Z .

↗ **Question.** Est-ce que la suite $(T_n^{(S)})$ admet une limite d'échelle ? Il est connu que le diamètre de $T_n^{(S)}$ est de l'ordre de $\log(n)$: Est-ce que

$$\frac{1}{\log(n)} \cdot T_n^{(S)}$$

converge vers un espace métrique compact limite en loi pour la topologie de Gromov–Hausdorff ?

→ **Question.** Est-ce que la suite $(T_n^{(S)})$ admet une limite d'échelle ? Il est connu que le diamètre de $T_n^{(S)}$ est de l'ordre de $\log(n)$: Est-ce que

$$\frac{1}{\log(n)} \cdot T_n^{(S)}$$


converge vers un espace métrique compact limite en loi pour la topologie de Gromov–Hausdorff ?

→ **Réponse :** non.

Arbres à boucles discrets

Si τ est un **arbre plan**, on définit $\text{Loop}(\tau)$ comme le graphe obtenu à partir de τ

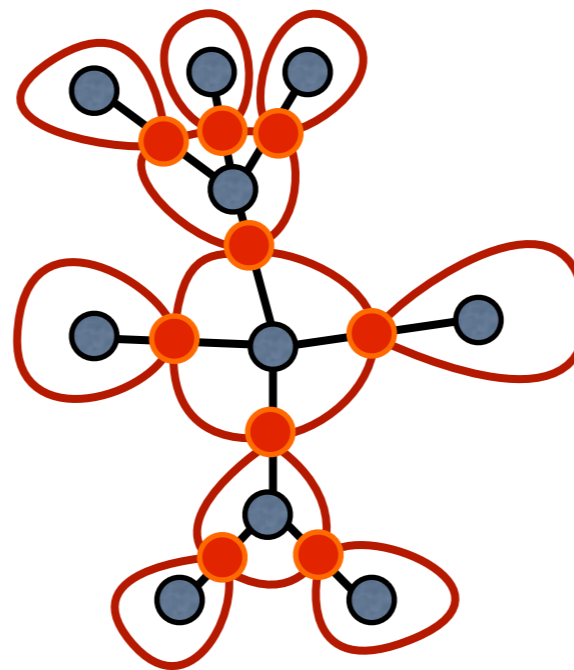
Arbres à boucles discrets

Si τ est un **arbre plan**, on définit $\text{Loop}(\tau)$ comme le graphe obtenu à partir de τ  en remplaçant chaque sommet u par une boucle avec $\deg(u)$ sommets,

Arbres à boucles discrets

Si τ est un **arbre plan**, on définit $\text{Loop}(\tau)$ comme le graphe obtenu à partir de τ

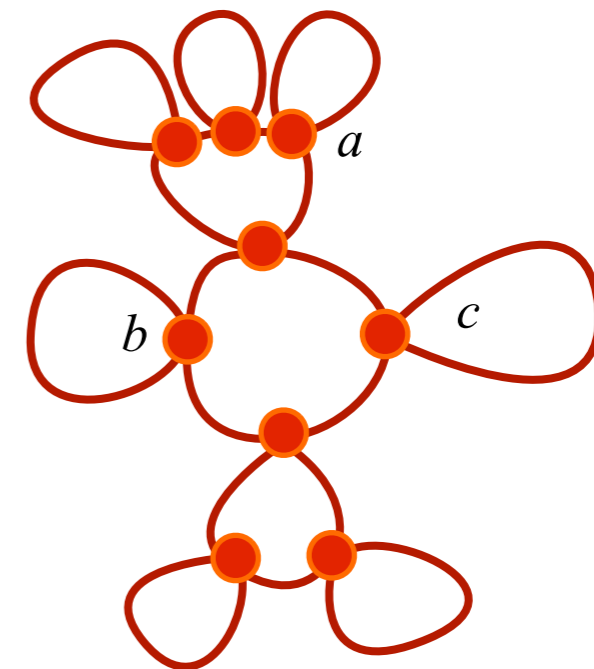
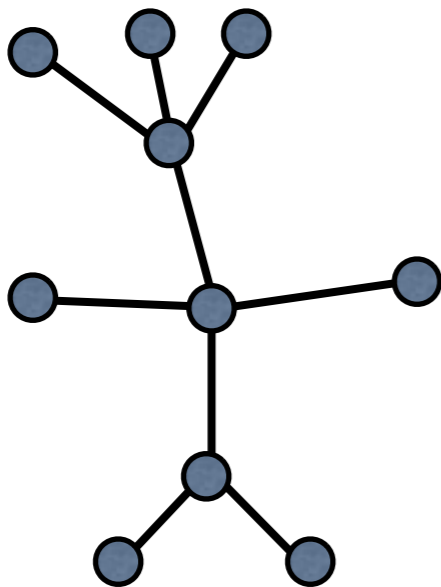
- 👉 en remplaçant chaque sommet u par une boucle avec $\deg(u)$ sommets,
- 👉 puis en collant ces boucles suivant la structure d'**arbre** de τ .



Arbres à boucles discrets

Si τ est un **arbre plan**, on définit $\text{Loop}(\tau)$ comme le graphe obtenu à partir de τ

- ☞ en remplaçant chaque sommet u par une boucle avec $\deg(u)$ sommets,
- ☞ puis en collant ces boucles suivant la structure d'**arbre** de τ .

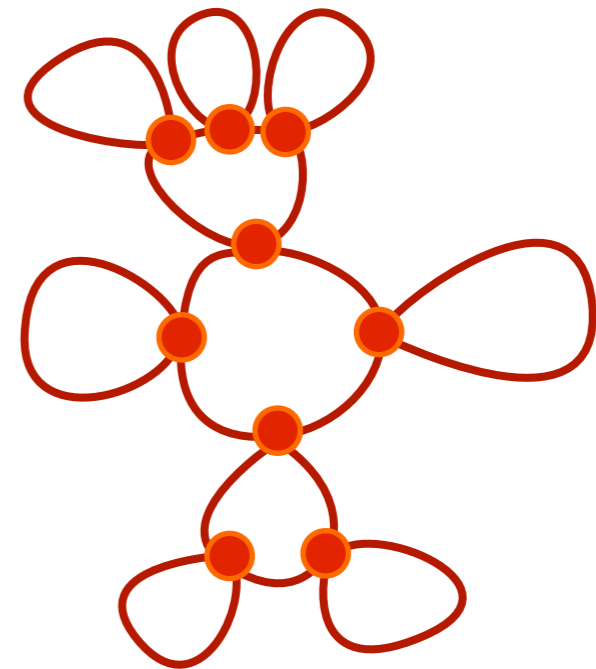
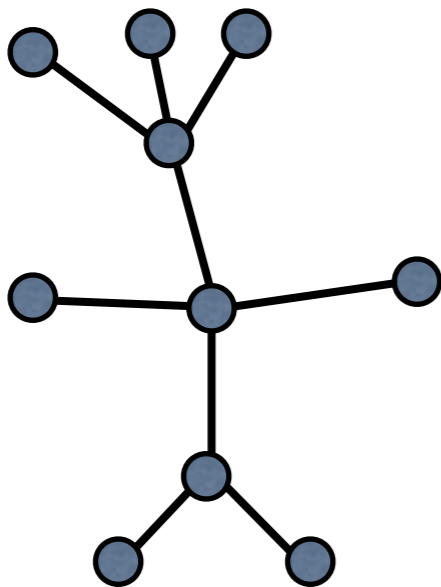


On voit $\text{Loop}(\tau)$ comme un espace métrique compact. $d(a,b)=2; d(a,c)=3; d(b,c)=3$

Arbres à boucles discrets

Si τ est un **arbre plan**, on définit $\text{Loop}(\tau)$ comme le graphe obtenu à partir de τ

- ☞ en remplaçant chaque sommet u par une boucle avec $\deg(u)$ sommets,
- ☞ puis en collant ces boucles suivant la structure d'**arbre** de τ .



On voit $\text{Loop}(\tau)$ comme un espace métrique compact.

↗ Très grossièrement, un arbre à boucles code la structure géométrique des sommets de grands degré de l'arbre.

Limites d'échelle

Théorème (Curien, Duquesne, K., Manolescu).

Soit S un arbre plan. Il existe un espace métrique compact $\mathcal{L}^{(S)}$ tel que :

$$n^{-1/2} \cdot \text{Loop}(\mathbb{T}_n^{(S)}) \xrightarrow[n \rightarrow \infty]{\text{p.s.}} \mathcal{L}^{(S)},$$

où la convergence a lieu p.s. pour la topologie de Gromov–Hausdorff.

Limites d'échelle

Théorème (Curien, Duquesne, K., Manolescu).

Soit S un arbre plan. Il existe un espace métrique compact $\mathcal{L}^{(S)}$ tel que :

$$n^{-1/2} \cdot \text{Loop}(T_n^{(S)}) \xrightarrow[n \rightarrow \infty]{\text{p.s.}} \mathcal{L}^{(S)},$$

où la convergence a lieu p.s. pour la topologie de Gromov–Hausdorff. Presque sûrement, la dimension de Hausdorff de $\mathcal{L}^{(S)}$ vaut 2.

Limites d'échelle

Théorème (Curien, Duquesne, K., Manolescu).

Soit S un arbre plan. Il existe un espace métrique compact $\mathcal{L}^{(S)}$ tel que :

$$n^{-1/2} \cdot \text{Loop}(T_n^{(S)}) \xrightarrow[n \rightarrow \infty]{\text{p.s.}} \mathcal{L}^{(S)},$$

où la convergence a lieu p.s. pour la topologie de Gromov–Hausdorff. Presque sûrement, la dimension de Hausdorff de $\mathcal{L}^{(S)}$ vaut 2.

Quand $S = \text{---} \circ$ est un arbre plan avec un sommet, $\mathcal{L}^{(\text{---} \circ)}$ est appelé « arbre à boucles brownien ».

Limites d'échelle

Théorème (Curien, Duquesne, K., Manolescu).

Soit S un arbre plan. Il existe un espace métrique compact $\mathcal{L}^{(S)}$ tel que :

$$n^{-1/2} \cdot \text{Loop}(T_n^{(S)}) \xrightarrow[n \rightarrow \infty]{\text{p.s.}} \mathcal{L}^{(S)},$$

où la convergence a lieu p.s. pour la topologie de Gromov–Hausdorff. Presque sûrement, la dimension de Hausdorff de $\mathcal{L}^{(S)}$ vaut 2.

Quand $S = \text{---}\circ$ est un arbre plan avec un sommet, $\mathcal{L}^{(\text{---}\circ)}$ est appelé « arbre à boucles brownien ».

 $n^{1/2}$ est l'ordre de grandeur du degré maximal de $T_n^{(S)}$.

Limites d'échelle

Théorème (Curien, Duquesne, K., Manolescu).

Soit S un arbre plan. Il existe un espace métrique compact $\mathcal{L}^{(S)}$ tel que :

$$n^{-1/2} \cdot \text{Loop}(T_n^{(S)}) \xrightarrow[n \rightarrow \infty]{\text{p.s.}} \mathcal{L}^{(S)},$$

où la convergence a lieu p.s. pour la topologie de Gromov–Hausdorff. Presque sûrement, la dimension de Hausdorff de $\mathcal{L}^{(S)}$ vaut 2.

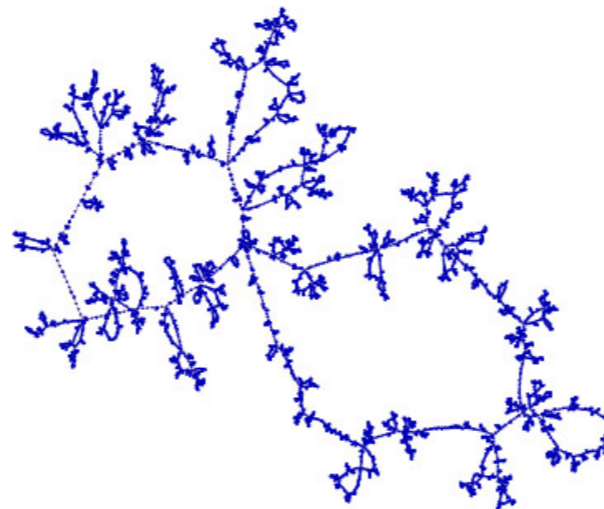


Figure: L'arbre à boucles discret d'un grand arbre construit par attachement préférentiel.

Qu'est-ce que l'arbre brownien ?

Connaissant la **fonction de contour**, il est facile de retrouver l'arbre parcollage :



Qu'est-ce que l'arbre brownien ?

L'arbre brownien \mathcal{T}_e est obtenu en collant l'excursion brownienne e .

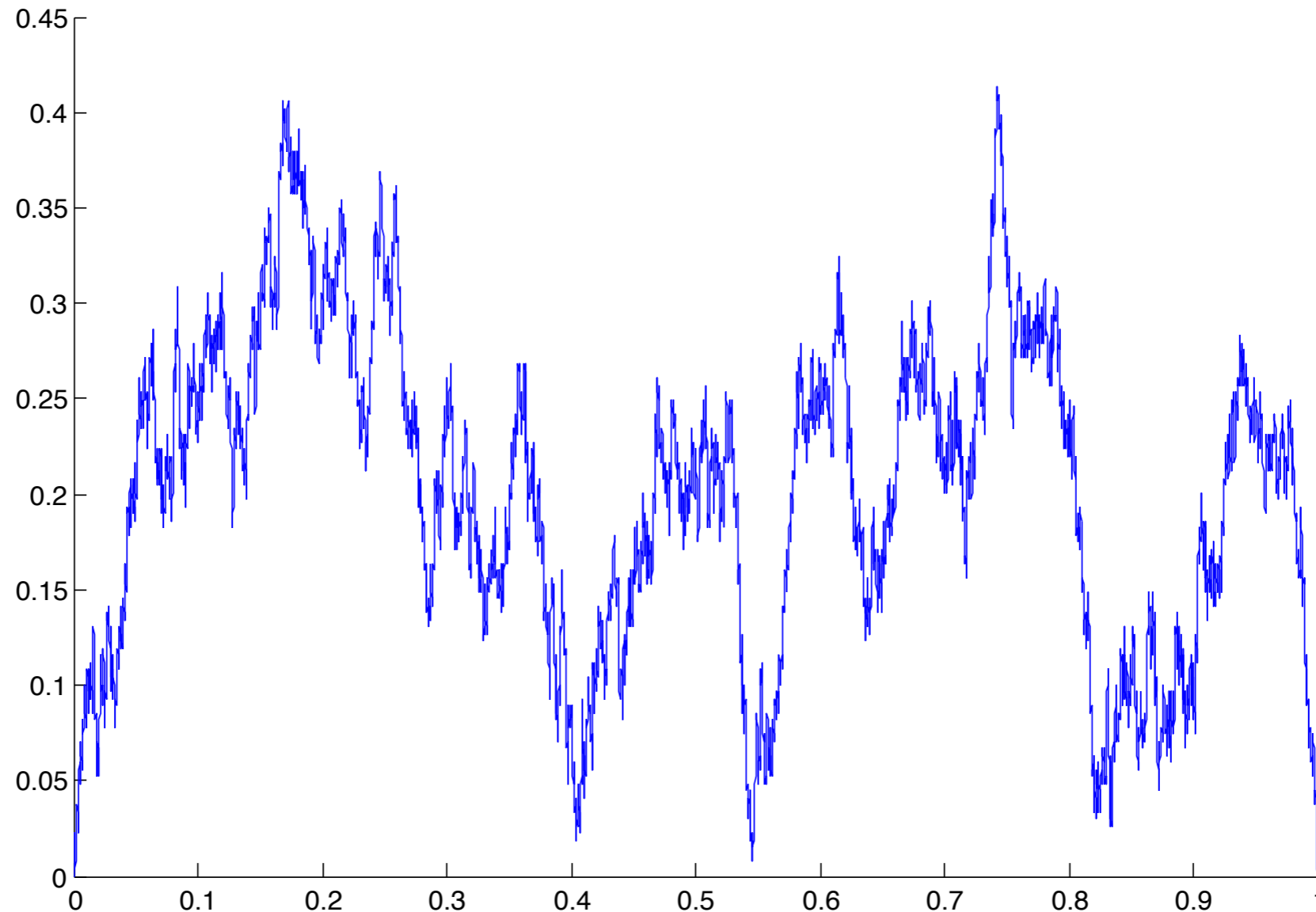


Figure: Une simulation de e .

Une simulation de l'arbre brownien

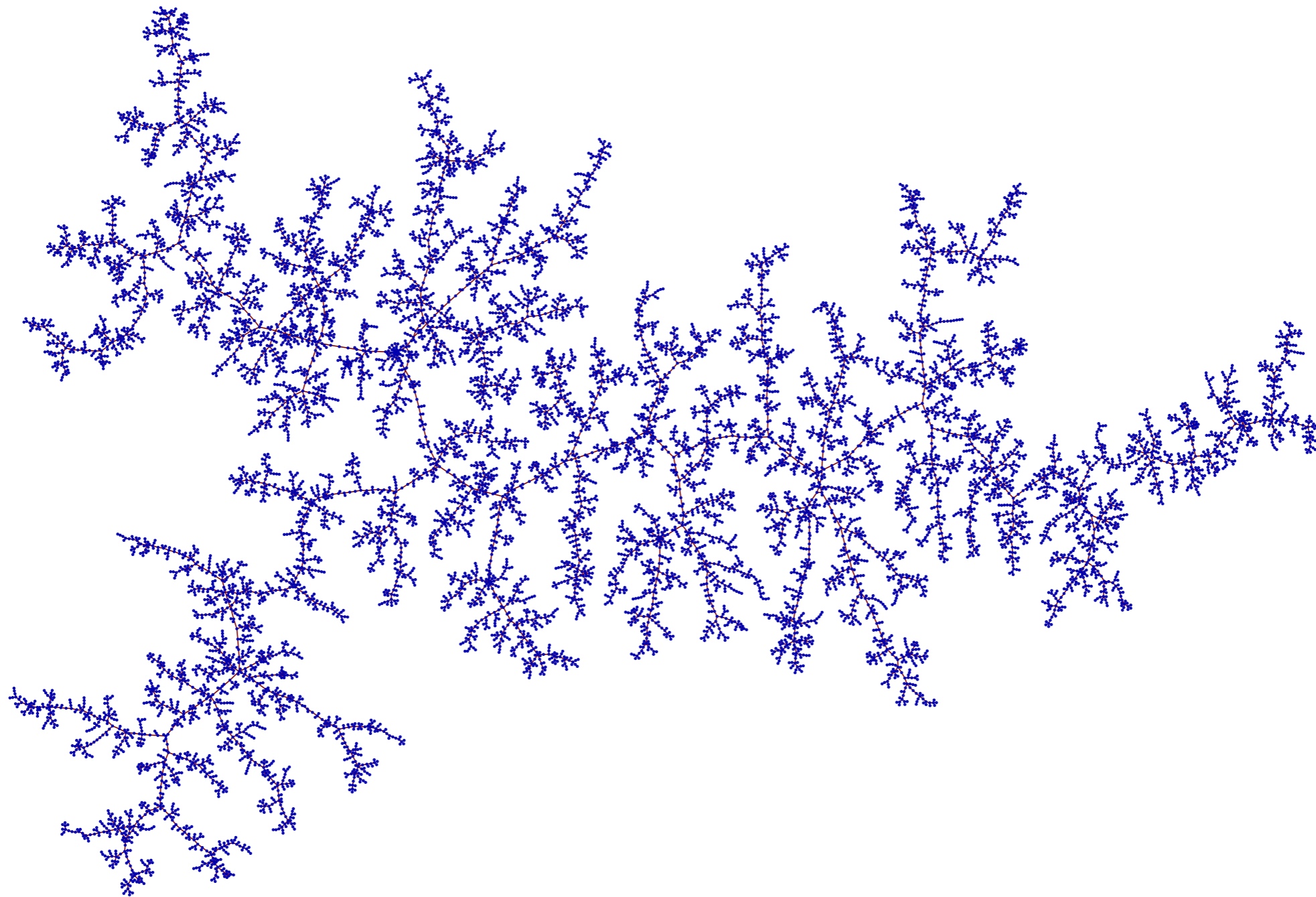


Figure: Un plongement non isométrique d'une réalisation de \mathcal{T}_e .

Construction de l'arbres à boucles brownien

Soit $(X_i)_{i \geq 0}$ une suite de points i.i.d. uniformes de l'arbre brownien \mathcal{T}_e .

Construction de l'arbres à boucles brownien

Soit $(X_i)_{i \geq 0}$ une suite de points i.i.d. uniformes de l'arbre brownien \mathcal{T}_e . On définit $\mathcal{L}^{(\circ)}$ en faisant les identifications suivantes \mathcal{T}_e :

Construction de l'arbres à boucles brownien

Soit $(X_i)_{i \geq 0}$ une suite de points i.i.d. uniformes de l'arbre brownien \mathcal{T}_e . On définit $\mathcal{L}^{(\circ)}$ en faisant les identifications suivantes \mathcal{T}_e :

- X_1 avec X_0

Construction de l'arbres à boucles brownien

Soit $(X_i)_{i \geq 0}$ une suite de points i.i.d. uniformes de l'arbre brownien \mathcal{T}_e . On définit $\mathcal{L}^{(-\circ)}$ en faisant les identifications suivantes \mathcal{T}_e :

- X_1 avec X_0
- pour $i \geq 2$, X_i avec P_i , qui est le sommet de $\text{Span}(\mathcal{T}_e; X_0, X_1, \dots, X_{i-1})$ qui est le plus proche de X_i .

Construction de l'arbres à boucles brownien

Soit $(X_i)_{i \geq 0}$ une suite de points i.i.d. uniformes de l'arbre brownien \mathcal{T}_e . On définit $\mathcal{L}^{(\circ)}$ en faisant les identifications suivantes \mathcal{T}_e :

- X_1 avec X_0
- pour $i \geq 2$, X_i avec P_i , qui est le sommet de $\text{Span}(\mathcal{T}_e; X_0, X_1, \dots, X_{i-1})$ qui est le plus proche de X_i .

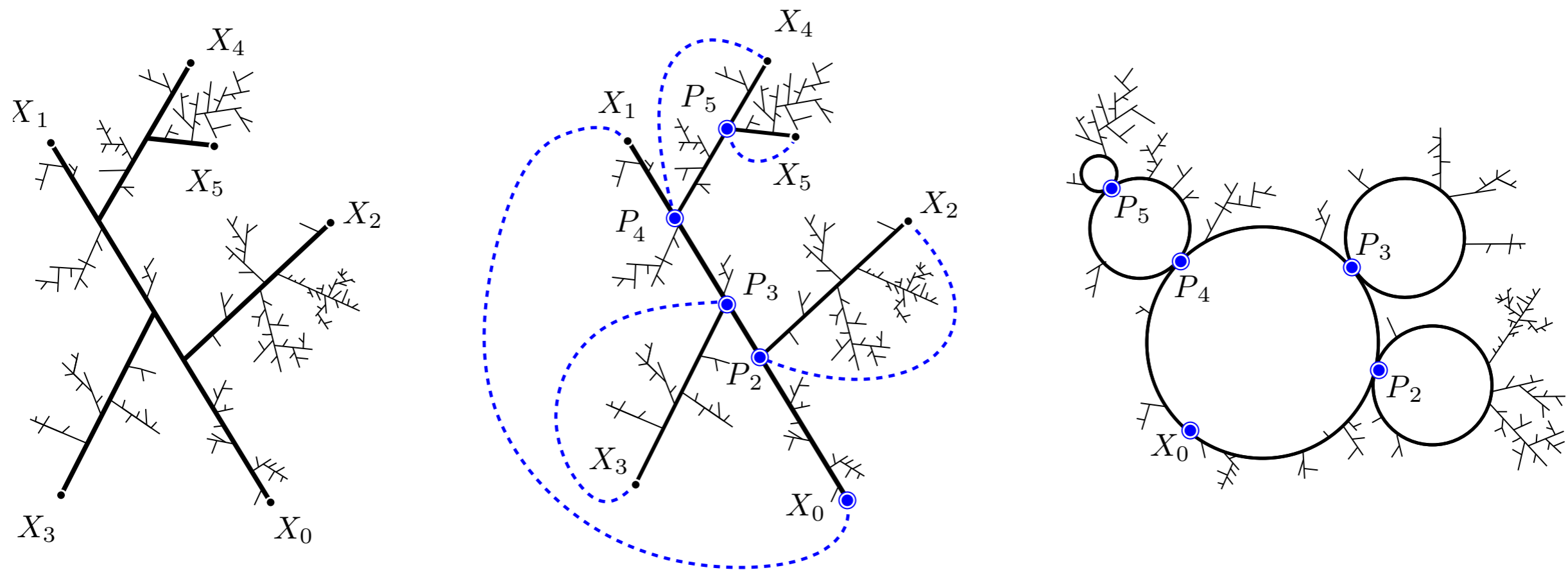


Figure: Construction de l'arbres à boucles brownien $\mathcal{L}^{(\circ)}$ comme un quotient de l'arbre brownien.

Idée principale : couplage avec l'algorithme de Rémy

Pourquoi a-t-on

$$n^{-1/2} \cdot \text{Loop}(T_n^{(-\circ)}) \xrightarrow[n \rightarrow \infty]{\text{p.s.}} \mathcal{L}^{(-\circ)}?$$

Idée principale : couplage avec l'algorithme de Rémy

Pourquoi a-t-on

$$n^{-1/2} \cdot \text{Loop}(T_n^{(-\circ)}) \xrightarrow[n \rightarrow \infty]{\text{p.s.}} \mathcal{L}^{(-\circ)}?$$

↗ **Idée principale** : couplage entre $T_n^{(-\circ)}$ et l'algorithme de Rémy (qui génère récursivement des arbres binaires uniformes), dû à Peköz, Ross & Röllin '14.

I. INFLUENCE DE LA CONDITION INITIALE

II. LIMITES D'ÉCHELLE *via* LES « ARBRES À BOUCLES »

$$\text{III.} = \text{I.} + \text{II.}$$



IV. AUTRES « ARBRES À BOUCLES »

Conjectures et extensions

Question.

Que se passe-t-il pour l'attachement préférentiel linéaire, où au lieu de choisir un sommet u proportionnellement à $\deg(u)$, on le choisit proportionnellement à $\deg(u) + \alpha$ avec $\alpha > -1$?

Conjectures et extensions

Question.

Que se passe-t-il pour l'attachement préférentiel linéaire, où au lieu de choisir un sommet u proportionnellement à $\deg(u)$, on le choisit proportionnellement à $\deg(u) + \alpha$ avec $\alpha > -1$?

Conjecture.

Si S_1, S_2 sont deux arbres plans, on a

$$\lim_{n \rightarrow \infty} d_{TV}(T_n^{(S_1)}, T_n^{(S_2)}) = d_{TV}(\mathcal{L}^{(S_1)}, \mathcal{L}^{(S_2)}).$$

I. INFLUENCE DE LA CONDITION INITIALE

II. LIMITES D'ÉCHELLE *via* LES « ARBRES À BOUCLES »

III. = I. + II.

IV. AUTRES « ARBRES À BOUCLES »



Que se passe-t-il pour des arbres de BGW ?

Soit μ une mesure de probabilité sur $\{0, 1, 2, \dots\}$ critique ($\sum_{i \geq 0} i \mu_i = 1$) et soit \mathcal{T}_n un μ -arbre aléatoire de Bienaymé–Galton–Watson conditionné à avoir n sommets.

Que se passe-t-il pour des arbres de BGW ?

Soit μ une mesure de probabilité sur $\{0, 1, 2, \dots\}$ critique ($\sum_{i \geq 0} i \mu_i = 1$) et soit \mathcal{T}_n un μ -arbre aléatoire de Bienaymé–Galton–Watson conditionné à avoir n sommets. Est-ce que $\text{Loop}(\mathcal{T}_n)$ a un limite d'échelle ?

Que se passe-t-il pour des arbres de BGW ?

Soit μ une mesure de probabilité sur $\{0, 1, 2, \dots\}$ critique ($\sum_{i \geq 0} i \mu_i = 1$) et soit \mathcal{T}_n un μ -arbre aléatoire de Bienaymé–Galton–Watson conditionné à avoir n sommets. Est-ce que $\text{Loop}(\mathcal{T}_n)$ a une limite d'échelle ?

Théorème (Curien, Haas & K. '13).

Si μ a une variance finie σ^2 (et un moment exponentiel fini), alors

$$n^{-1/2} \cdot \text{Loop}(\mathcal{T}_n) \xrightarrow[n \rightarrow \infty]{(d)}$$

Que se passe-t-il pour des arbres de BGW ?

Soit μ une mesure de probabilité sur $\{0, 1, 2, \dots\}$ critique ($\sum_{i \geq 0} i \mu_i = 1$) et soit \mathcal{T}_n un μ -arbre aléatoire de Bienaymé–Galton–Watson conditionné à avoir n sommets. Est-ce que $\text{Loop}(\mathcal{T}_n)$ a une limite d'échelle ?

Théorème (Curien, Haas & K. '13).

Si μ a une variance finie σ^2 (et un moment exponentiel fini), alors

$$n^{-1/2} \cdot \text{Loop}(\mathcal{T}_n) \xrightarrow[n \rightarrow \infty]{(d)} \mathcal{T}_e.$$

Que se passe-t-il pour des arbres de BGW ?

Soit μ une mesure de probabilité sur $\{0, 1, 2, \dots\}$ critique ($\sum_{i \geq 0} i \mu_i = 1$) et soit \mathcal{T}_n un μ -arbre aléatoire de Bienaymé–Galton–Watson conditionné à avoir n sommets. Est-ce que $\text{Loop}(\mathcal{T}_n)$ a une limite d'échelle ?

Théorème (Curien, Haas & K. '13).

Si μ a une variance finie σ^2 (et un moment exponentiel fini), alors

$$n^{-1/2} \cdot \text{Loop}(\mathcal{T}_n) \xrightarrow[n \rightarrow \infty]{(d)} \frac{2}{\sigma} \cdot \frac{1}{4} \left(\sigma^2 + 4 - (\mu_0 + \mu_2 + \mu_4 + \dots) \right) \cdot \mathcal{T}_e.$$

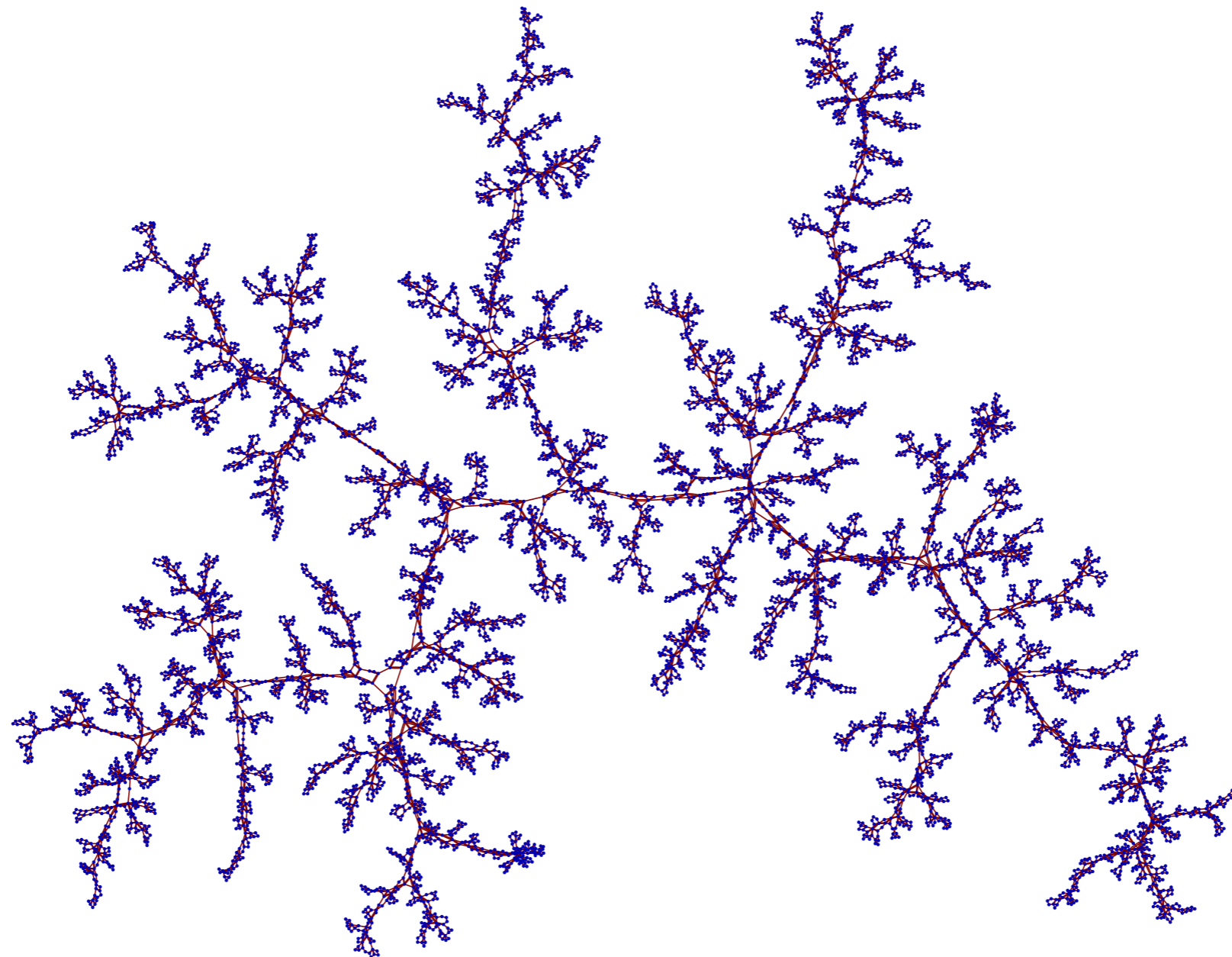


Figure: Un plongement non isométrique de l'arbre à boucles d'un grand arbre aléatoire de BGW de variance finie.

Soit μ une mesure de probabilité sur $\{0, 1, 2, \dots\}$ critique ($\sum_{i \geq 0} i \mu_i = 1$) et soit \mathcal{T}_n un μ arbre de BGW conditionné à avoir n sommets

Théorème (Curien & K. '13).

Soit $\alpha \in (1, 2)$. On suppose que $\mu_i \sim C/i^{1+\alpha}$ quand $i \rightarrow \infty$.

Soit μ une mesure de probabilité sur $\{0, 1, 2, \dots\}$ critique ($\sum_{i \geq 0} i \mu_i = 1$) et soit \mathcal{T}_n un μ arbre de BGW conditionné à avoir n sommets

Théorème (Curien & K. '13).

Soit $\alpha \in (1, 2)$. On suppose que $\mu_i \sim C/i^{1+\alpha}$ quand $i \rightarrow \infty$. Il existe un espace métrique compact aléatoire \mathcal{L}_α tel que

$$n^{-1/\alpha} \cdot \text{Loop}(\mathcal{T}_n) \xrightarrow[n \rightarrow \infty]{(d)} \mathcal{L}_\alpha,$$

Soit μ une mesure de probabilité sur $\{0, 1, 2, \dots\}$ critique ($\sum_{i \geq 0} i \mu_i = 1$) et soit \mathcal{T}_n un μ arbre de BGW conditionné à avoir n sommets

Théorème (Curien & K. '13).

Soit $\alpha \in (1, 2)$. On suppose que $\mu_i \sim C/i^{1+\alpha}$ quand $i \rightarrow \infty$. Il existe un espace métrique compact aléatoire \mathcal{L}_α tel que

$$n^{-1/\alpha} \cdot \text{Loop}(\mathcal{T}_n) \xrightarrow[n \rightarrow \infty]{(d)} \mathcal{L}_\alpha,$$

appelé **arbre à boucles stable d'indice α** .

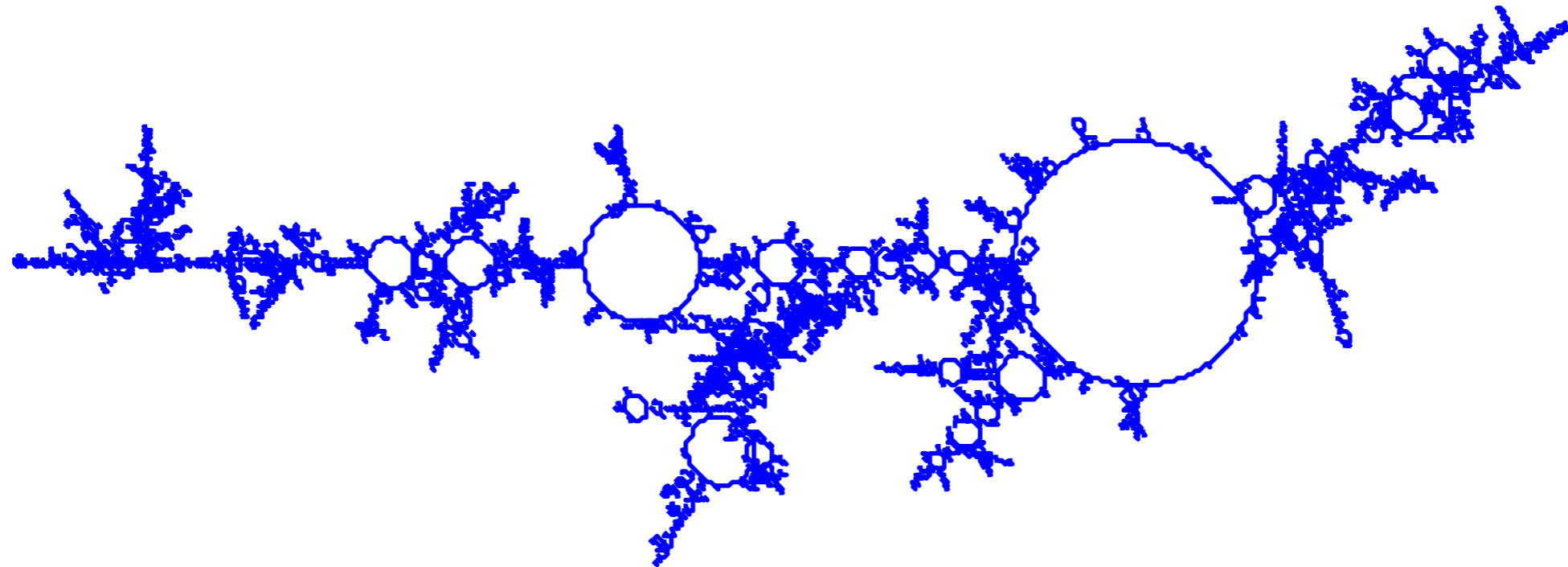


Figure: Un plongement non isométrique d'une réalisation de $\mathcal{L}_{3/2}$, l'arbre à boucles stable d'indice $3/2$.

Soit μ une mesure de probabilité sur $\{0, 1, 2, \dots\}$ critique ($\sum_{i \geq 0} i \mu_i = 1$) et soit \mathcal{T}_n un μ -BGW arbre conditionné à avoir n sommets

Théorème (Curien & K. '13).

Soit $\alpha \in (1, 2)$. On suppose que $\mu_i \sim C/i^{1+\alpha}$ quand $i \rightarrow \infty$. Il existe un espace métrique compact aléatoire \mathcal{L}_α tel que

$$n^{-1/\alpha} \cdot \text{Loop}(\mathcal{T}_n) \xrightarrow[n \rightarrow \infty]{(d)} \mathcal{L}_\alpha,$$

appelé **arbre à boucles stable d'indice α** .


Soit μ une mesure de probabilité sur $\{0, 1, 2, \dots\}$ critique ($\sum_{i \geq 0} i \mu_i = 1$) et soit \mathcal{T}_n un μ -BGW arbre conditionné à avoir n sommets

Théorème (Curien & K. '13).

Soit $\alpha \in (1, 2)$. On suppose que $\mu_i \sim C/i^{1+\alpha}$ quand $i \rightarrow \infty$. Il existe un espace métrique compact aléatoire \mathcal{L}_α tel que

$$n^{-1/\alpha} \cdot \text{Loop}(\mathcal{T}_n) \xrightarrow[n \rightarrow \infty]{(d)} \mathcal{L}_\alpha,$$

appelé **arbre à boucles stable d'indice α** .

 **Duquesne (2003)** : Il existe un espace métrique compact aléatoire \mathcal{T}_α (l'arbre α -stable introduit par Le Gall & Le Jan) tel que :

$$\frac{(c|\Gamma(1-\alpha)|)^{-1/\alpha}}{n^{1-1/\alpha}} \cdot \mathcal{T}_n \xrightarrow[n \rightarrow \infty]{(d)} \mathcal{T}_\alpha,$$


Soit μ une mesure de probabilité sur $\{0, 1, 2, \dots\}$ critique ($\sum_{i \geq 0} i \mu_i = 1$) et soit \mathcal{T}_n un μ -BGW arbre conditionné à avoir n sommets

Théorème (Curien & K. '13).

Soit $\alpha \in (1, 2)$. On suppose que $\mu_i \sim C/i^{1+\alpha}$ quand $i \rightarrow \infty$. Il existe un espace métrique compact aléatoire \mathcal{L}_α tel que

$$n^{-1/\alpha} \cdot \text{Loop}(\mathcal{T}_n) \xrightarrow[n \rightarrow \infty]{(d)} \mathcal{L}_\alpha,$$

appelé **arbre à boucles stable d'indice α** . De plus, $\mathcal{L}_{3/2}$ est la limite d'échelle des bords de grandes composantes connexes de percolation critique par sites sur la triangulation aléatoire infinie uniforme (UIPT) d'Angel & Schramm.

 **Duquesne (2003)** : Il existe un espace métrique compact aléatoire \mathcal{T}_α (l'arbre α -stable introduit par Le Gall & Le Jan) tel que :

$$\frac{(c|\Gamma(1-\alpha)|)^{-1/\alpha}}{n^{1-1/\alpha}} \cdot \mathcal{T}_n \xrightarrow[n \rightarrow \infty]{(d)} \mathcal{T}_\alpha,$$